



سنجش از دور و سامانه اطلاعات جغرافیایی دمناج طبیعی (سال چهاردهم / شماره دوم) تابستان ۱۴۰۲

نمایه شده در سایت: پایگاه استنادی علوم جهان اسلام، جهاد دانشگاهی، مگ ایران، نورمگز، سیوپلیکا، گوگل اسکولار

آدرس وب سایت: <https://sanad.iau.ir/journal/girs>



مقاله
پژوهشی

توزیع مکانی برخی فلزات سنگین در کاربری‌های کشاورزی و مرتع (مطالعه موردی: شهر صنعتی شازند اراک)

لیلا زارعی^۱، سهیلا سادات هاشمی^{۲*}، مهدی نجفی قیری^۳

دریافت: ۱۴۰۰/۰۹/۲۲ / پذیرش: ۱۴۰۰/۱۲/۱۵ / دسترسی اینترنتی: ۱۴۰۲/۰۱/۰۱

میانگین غلظت سرب، روی، مس، کادمیم و نیکل به ترتیب برابر $۵۶/۱۲$ ، $۳۱/۲۰$ ، $۵۴/۱۱$ ، $۲۳/۱۱$ و $۵۹/۳۶$ میلی گرم بر کیلوگرم محاسبه شد. همبستگی مثبت و معنی داری بین عناصر نیکل با مس ($r=0.91$) و روی ($r=0.90$)، مس با روی ($r=0.94$) همبستگی مثبت و معنی داری بین مقدار مس با روی ($r=0.90$) مشخص شد. همچنین همبستگی مثبت و معنی داری بین عناصر مورد مطالعه ترسیم شده مشاهده شد. تغییرنامای همه جهته عناصر مورد مطالعه ترسیم ($r=0.40$) مشاهده شد. نتایج تجزیه های گردید و سپس الگوی مناسب برآن برآش داده شد. در نهایت به وسیله روش کریجینگ معمولی نقشه پراکنش مکانی عناصر مورد مطالعه ترسیم گردید. همبستگی مکانی قوی (نسبت اثر قطعه ای به حد آستانه کمتر از 0.25) برای عنصر سرب بدست آمد. براساس حد استاندارد، سرب و کادمیم بیشترین آلودگی را به ترتیب در کاربری مرتع و کشاورزی در منطقه نشان دادند. توصیه می شود جهت افزایش کیفیت خاک و کاهش دادن تخریب آن از آلاینده ها، عملیات حفاظتی مناسب بکار برده شود.

چکیده
خاک محیط طبیعی برای رشد گیاهان است و به دلیل اهمیت آن، بررسی توزیع عناصر سنگین جهت پایش آلودگی خاک و حفظ کیفیت محیط زیست ضروری است. این مطالعه باهدف بررسی توزیع مکانی برخی فلزات سنگین در خاک های سطحی بخشی از شهرستان شازند صورت گرفت. ۷۶ نمونه خاک های سطحی از عمق $0-30$ سانتی متری از منطقه مطالعاتی به صورت تصادفی جمع آوری شد. پس از آماده سازی نمونه ها برخی خصوصیات فیزیکی و شیمیائی خاک ها و مقدار کل عناصر سرب، کادمیم، نیکل، روی و مس در آنها تعیین شد.

لیلا زارعی^۱، سهیلا سادات هاشمی^{۲*}، مهدی نجفی قیری^۳
۱. کارشناسی ارشد علوم و مهندسی خاک، دانشکده کشاورزی، دانشگاه ملایر، ملایر، ایران
۲. استادیار گروه علوم و مهندسی خاک، دانشکده کشاورزی، دانشگاه ملایر، ملایر، ایران
۳. دانشیار گروه علوم خاک، دانشکده کشاورزی و منابع طبیعی داراب، دانشگاه شیراز، ایران
DOI: 10.30495/girs.2023.689614

پست الکترونیکی مسئول مکاتبات: hashemy558@yahoo.com

در صد سیلت و شن نشان دادند. عنصر سرب فقط همبستگی منفی معنی دار با $pH < 0.01$ داشت. همبستگی مثبت و معنی داری بین عناصر نیکل با مس ($r = 0.01$, $p < 0.01$) و روی ($r = 0.05$, $p < 0.01$) مشخص شد. همچنان همبستگی مثبت و معنی داری بین مقدار مس با روی ($r = 0.04$, $p < 0.01$) بدست آمد. تغییرنماهای سطحی عناصر سنگین موردن بررسی، انجام شد و با توجه به تقارن تغییرنماهای سطحی، توزیع متغیرهای روی، سرب، کادمیم و مس در منطقه همسانگرد بوده و این واقعیت بیانگر این است که تغییرپذیری این متغیرها در جهات مختلف جغرافیایی یکسان است. برای عنصر نیکل با توزیع ناهمسانگرد در منطقه، تغییرنمای جهتی (چهار زاویه، 0° , 45° , 90° و 135° درجه) به منظور تعیین جهت و درجه ناهمسانگردی ترسیم گردید. تغییرنماهای جهتی ترسیم شده برای نیکل، در امتدادهای مختلف نشان داد که منطقه مورد مطالعه برای این متغیر دارای ناهمسانگردی هندسی بوده و نسبت ناهمسانگردی برای نیکل کل برابر با $1/36$ بدست آمد. نتایج تغییرنماهای عناصر سنگین نشان داد که از بین دو روش کریجینگ معمولی و ساده، روش کریجینگ معمولی عملکرد بهتری با توجه به شاخص‌های ارزیابی خطا و ضریب همبستگی (R^2) بین متغیرهای اندازه‌گیری شده و تخمین زده شده، ارائه کرده است. نتایج تجزیه‌های زمین‌آماری نشان داد که مدل کروی بهترین مدل برآشش داده شده برای غلطت عناصر مورد مطالعه است. بیشترین دامنه تأثیر 17200 متر و کمترین آن 2354 متر، به ترتیب مربوط به عنصر نیکل و سرب بوده است. همبستگی مکانی قوی (نسبت اثر قطعه‌ای به حد استاندارد کمتر از 0.025) برای عنصر سرب بدست آمد. مقایسه میانگین غلطت کادمیم کل در کاربری کشاورزی و مرتع نشان داد که کاربری کشاورزی غلطت کادمیم بیشتری را دارا است. براساس حد استاندارد تعیین شده برای عنصر کادمیم توسط مؤسسه تحقیقات ملی و فن‌آوری آمریکا، که 0.038 میلی‌گرم بر کیلوگرم می‌باشد، آلوودگی به عنصر کادمیم در منطقه مطالعاتی بسیار بالاست. نقشه پراکنش مکانی عنصر کادمیوم که از کریجینگ بلوکی حاصل شده، نشان داد که بیشترین غلطت‌های عنصر کادمیم در جنوب نقشه و پشت منطقه پتروشیمی شازند به سمت شهر شازند است و از نظر سلامتی می‌توان گفت در مرز هشدار قرار دارند. مقایسه میانگین غلطت مس کل در کاربری کشاورزی و مرتع نشان داد که کاربری کشاورزی غلطت مس بیشتری را داراست. نتایج حاکی از افزایش غلطت عنصر مس در غرب، جنوب‌غربی و جنوب شرقی منطقه است، که می‌توان وجود

طرح مسئله: خاک محیط طبیعی برای رشد گیاهان است و به دلیل اهمیت آن، بررسی توزیع عناصر سنگین جهت پایش آلوودگی خاک و حفظ کیفیت محیط زیست ضروری است. به دلیل وسعت مناطق آلووده و در نتیجه مشکلات جمع‌آوری نمونه‌های خاک، استفاده از روش‌های زمین‌آمار بسیار مفید می‌باشد. کریجینگ یکی از روش‌های زمین‌آمار است که برای تعیین توزیع مکانی فلزات سنگین خاک دارای پتانسیل بالایی است. در کنار زمین‌آمار، پراکنش مکانی آلوودگی فلزات سنگین را می‌توان براساس تکنولوژی سیستم اطلاعات جغرافیایی (GIS) به نمایش گذاشت. با توجه به میزان افزایش آلانددها در اطراف مراکز صنعتی و گسترش آنها به سمت اراضی کشاورزی و مرتع، سعی شد منطقه‌ی انتخاب گردد که در کنار صنعتی بودن، کاربری اثرگذار در جامعه حیواناتی و انسانی نیز مورد توجه باشد.

هدف: لذا این مطالعه با هدف بررسی توزیع مکانی برخی فلزات سنگین در خاک‌های سطحی بخشی از شهرستان شازند صورت گرفت. تا بتوان به کمک آن منابع آلووده‌کننده خاک را پیش‌بینی نمود.

روش تحقیق: منطقه شازند از نظر کاربری شامل بخش کشاورزی (آبی و دیم)، مرتع، شهرک صنعتی شازند و مناطق شهری است. $76\text{~}0$ سانتی‌متری از منطقه مطالعاتی نمونه خاک‌های سطحی از عمق $0\text{--}30$ سانتی‌متری از منطقه مطالعاتی به صورت تصادفی جمع‌آوری شد. پس از آماده‌سازی نمونه‌ها برخی خصوصیات فیزیکی و شیمیائی خاک‌ها و مقدار کل عناصر سرب، کادمیم، نیکل، روی و مس در آنها تعیین شد. به منظور توصیف نتایج آزمایشات و به دست آوردن خلاصه‌ای از اطلاعات آماری از نرم‌افزار SPSS.19 استفاده گردید. ناهمسانگردی داده‌ها توسط تغییرنمای سطحی بررسی و پس از تعیین درجه ناهمسانگردی، تغییرنمای همه جهتی برای عناصر مورد مطالعه، ترسیم شد. پس از تعیین بهترین مدل، نقشه درون‌بیابی با کمک کریجینگ و نقشه واریانس تخمین، توسط نرم افزار ArcGIS برای هر عنصر ترسیم شد.

نتایج و بحث: میانگین غلطت سرب، روی، مس، کادمیم و نیکل به ترتیب برابر $54/12$, $23/11$, $20/05$ و $59/36$ میلی‌گرم بر کیلوگرم محاسبه شد. عنصر نیکل همبستگی معنی دار با pH , CEC در صد سیلت و شن ($p < 0.05$), و عنصر مس همبستگی معنی دار با آهک، و عنصر روی همبستگی معنی دار با CEC, کربن آلی، آهک،

نتیجه‌گیری: نتایج حاکی از آن است که کاربری کشاورزی حاوی غلظت بالای فلزات مس، کادمیم و نیکل و کاربری مرتع بیشترین غلظت روی و سرب را بهمراه داشت. براساس حد استاندارد مؤسسه تحقیقات ملی و فن‌آوری آمریکا، سرب و کادمیم بیشترین آلودگی را در منطقه دارند. با توجه به نتایج پنهان‌بندی، عمدۀ آلودگی کادمیم در منطقه را فعالیتهای کشاورزی در بردارد. در حالی که منبع اصلی سرب با توجه به همبستگی مکانی قوی آن را می‌توان به فعالیتهای صنعتی (پتروشیمی شازند) و حمل و نقل جاده‌ای نسبت داد. با توجه به بالا بودن غلظت کادمیم نسبت به حد استاندارد در برخی نقاط منطقه، به نظر می‌رسد که منطقه مطالعاتی دارای پتانسیل لازم جهت پیشروی به سمت آلودگی و بروز علائم آلودگی را دارد. لذا لازم است اقدامات مدیریتی جهت جلوگیری از بروز حوادث مخرب زیست‌محیطی انجام پذیرد. توصیه می‌شود جهت افزایش کیفیت خاک و کاهش دادن تخریب آن از آلاینده‌ها، عملیات حفاظتی مناسب بکار برده شود.

واژگان کلیدی: آلاینده، زمین‌آمار، سرب، کادمیم، کریجینگ

مواد مادری شیل با غلظت بالای مس را از عوامل افزایش این عنصر دانست. مقایسه میانگین غلظت نیکل در دو کاربری کشاورزی و مرتع نشان داد که غلظت این عنصر در کاربری کشاورزی بیشتر از مرتع است. علاوه براین نتایج حاکی از افزایش غلظت این عنصر در شمال غرب و جنوب شرقی منطقه بود. که علت آنرا می‌توان وجود مواد مادری شیل با غلظت بالای نیکل دانست. مقایسه میانگین غلظت روی در کاربری مرتع و کشاورزی در منطقه مطالعاتی نشان داد که اراضی مرتع از غلظت روی بالاتری نسبت به اراضی کشاورزی برخوردار هستند. مقایسه نقشه حاصله از تغییرات غلظت روی در منطقه نشان داد که مناطق نزدیک به نیروگاه پتروشیمی شازند و حاشیه‌های اطراف، غلظت روی بالاتری دارند. با توجه به نقشه کریجینگ بلوکی محدوده‌هایی از شمال، جنوب و مرکز منطقه دارای غلظت سرب بیشتری بودند که فعالیتهای صنعتی پتروشیمی و عبور وسایل نقلیه را می‌توان از علل افزایش غلظت این عنصر در منطقه دانست. نقشه‌های واریانس تخمین کریجینگ بلوکی متغیرهای مورد بررسی، نشان دادند که حاشیه نقشه‌ها دارای واریانس تخمین بیشتری نسبت به سایر نواحی می‌باشند. علت این امر عدم وجود نمونه‌برداری در این قسمت‌ها است.

لطفاً به این مقاله استناد کنید: زارعی، ل.، هاشمی، س، س.، نجفی قیری، م. توزیع مکانی برخی فلزات سنگین در کاربری‌های کشاورزی و مرتع (مطالعه موردي: شهر صنعتی شازند اراك). نشریه سنجش از دور و سامانه اطلاعات جغرافیایی در منابع طبیعی، ۱۴(۲): ۳۷-۱۶.

مقدمه

قدرتمند می‌تواند در جهت برآورده و کاهش عدم قطعیت و همچنین حداقل نمودن هزینه‌ها به کمک آید (۳ و ۲۱). محققین زیادی با توجه به خطر فلزات سنگین در محیط، به بررسی مقادیر آنها در خاک‌های مناطق مختلف جهان اقدام کرده‌اند:

سودانگو و همکاران (۲۴) در بررسی تغییرات مکانی فلزات سنگین در شهر فوجوی چین، اثر نوع کاربری، شکل زمین و زمین‌شناسی را مورد بررسی قرار دادند. و نتایج نشان داد که بیشترین مقدار کادمیم (۷۴٪ میلی گرم بر گرم) در اراضی کشاورزی، جنگل و سپس در کاربری شهری مشاهده شد. در حالی که بیشترین میزان سرب را ابتدا در کاربری شهر، سپس در کاربری جنگل و کشاورزی مشاهده کردند. آنها سنگ‌های شن و شیل را مهم‌ترین منشا کادمیم بر شمردند. یانگ و همکاران (۳۱) در بررسی هفت فلز سنگین در مزارع برنج، عوامل طبیعی را با درصد بالاتری (۷۸٪)، مهم‌ترین منبع فلزات سنگین خواندند و منشاء کشاورزی (۹٪) و فعالیت‌های صنعتی (۴۸٪) را بعنوان پارامترهای بعدی پراکنش فلزات نام برندند. دیوارا و همکاران (۸)، آلدگی ناشی از جیوه، سرب، کادمیم و آرسنیک را در خاک‌های سطحی پوبلو در کلرادو مطالعه نمودند. نتایج نشان داد که غلظت سرب در چند اجتماع مسکونی، متجاوز از ۳۰۰ میلی گرم بر کیلو گرم مشاهده شد. شیرانی (۲۲) تغییرات مکانی برخی عناصر سنگین را در خاک‌های سطحی مشهد در سه نوع کاربری کشاورزی، صنعتی و شهری تعیین نمود. نتایج نشان داد که غلظت سرب، روی و نیکل در قسمت‌های زیادی از مناطق شهری و صنعتی افزایش یافته است. نوع مواد مادری و فعالیت‌های صنعتی مهم‌ترین عوامل کنترل غلظت نیکل و روی معرفی شد. همچنین استفاده از کودهای شیمیایی را سبب افزایش غلظت کادمیم کل در خاک منطقه عنوان کرد. متکان و همکاران (۱۸) برای برآورده مقدار کادمیم موجود در خاک‌های منطقه اصفهان و جهت تعیین منطقه آلوده از روش کریجنگ معمولی استفاده کردند. نتایج آن‌ها نشان داد که کاربری تأثیر مهمی بر کادمیم کل دارد. به‌گونه‌ای که در کاربری شهری و صنعتی، میانگین این فلز

فلزات سنگین در سالیان اخیر به دلیل خصوصیات آلایندگی‌شان در خاک شدیداً مورد توجه قرار گرفته‌اند. فلزات سنگین، دسته‌ای از فلزات هستند که دارای جرم اتمی بیش از ۵۵/۸ گرم بر مول و یا چگالی بزرگ‌تر از ۵ گرم بر سانتی‌متر مکعب می‌باشند (۱). زمانی که غلظت آنها از حد معینی که برای هر عنصر متفاوت است، تجاوز کند، خاصیت سمی دارند. هرچند که تعدادی از آنها در غلظت‌های پایین برای موجودات زنده ضروری می‌باشند (۲۹). به طور کلی دو منبع عمده برای فلزات سنگین در خاک وجود دارد: منابع طبیعی که شامل غلظت عناصر در سنگ‌بستر است و منابع غیرطبیعی که در اثر کاربرد کودها، لجن فاضلاب، کمپوست، سوخت‌های فسیلی و غیره ایجاد می‌شود. با وجود اثرات مهم کودهای دامی بر خصوصیات فیزیکی، شیمیایی و زیستی، این کودها با توجه به نوع و تغذیه دام، می‌توانند حاوی مقادیری فلزات سنگین باشند. کودهای دامی حاوی مقادیر نسبتاً زیادی روی و مس بوده و در برخی موارد می‌توانند مهم‌ترین منبع آلاینده اراضی کشاورزی به شمار روند (۱۵). ورود و تجمع فلزات سنگین در اراضی کشاورزی به طور عمده ناشی از نهشته‌های اتمسفری حاصل از فعالیت‌های صنعتی، کودهای شیمیایی، کودهای حیوانی، لجن فاضلاب، کمپوست و آفت‌کش‌هاست (۲۶). به دلیل وسعت مکانی و مشکلات مربوط به نمونه‌های جمع‌آوری شده برای تعیین مناطق آلوده، استفاده از روش‌های زمین‌آمار بسیار مفید است (۳). در مقایسه با سایر روش‌های پهنه‌بندی می‌توان گفت زمین‌آمار بدلیل داشتن داده‌های واقعی از صحت بالاتری برخوردار است. محمود‌آبادی و کریمی (۱۷) برای تهیه نقشه آهک و رس خاک در منطقه پارک چیتگر تهران، از دو روش زمین‌آمار و سنچش از دور استفاده نمودند و در نهایت بیان کردند که روش کریجنگ در مقایسه با تصاویر ماهواره‌ای و داده‌های رقومی که از نظر هزینه به صرفه‌تر هستند، از دقت بالاتری برخوردار می‌باشند. مشخص شدن توزیع مکانی فلزات سنگین به صورت دقیق وقتی که نمونه‌های مورد مطالعه کم باشد، یک امر ضروری است و زمین‌آمار به عنوان یک ابزار

مواد و روش‌ها

معرفی منطقه مورد مطالعه: شهرستان شازند در جنوب غربی استان مرکزی واقع گردیده و مساحت آن بالغ بر ۲۶۴۵ کیلومترمربع هست. منطقه شازند به دلیل ارتفاع زیاد دارای آب و هوای کوهستانی با زمستان‌های سرد و تابستان‌های معتدل و خنک هست و در موقعیت جغرافیایی ۴۹ درجه و ۳ دقیقه تا ۴۹ درجه و ۵۲ دقیقه طول جغرافیائی و ۳۳ درجه و ۴۵ دقیقه تا ۳۴ درجه و ۱۲ دقیقه عرض شمالی قرار دارد. این دشت از جمله دشت‌های حاصلخیز کشور است که عمدتاً به زراعت آبی نباتات یک‌ساله و درخت‌کاری و در حاشیه‌ها به زراعت دیم غلات اختصاص دارند. شهرک صنعتی شازند، جاده اصلی و فعالیت‌های کشاورزی از عوامل اصلی غلظت عناصر سنگین در خاک‌های این منطقه می‌باشد. به استناد آمار موجود در ایستگاه سینوپتیک شازند حداقل بارندگی سالانه ۷۲۶/۵ میلی‌متر، میانگین دمای گرم‌ترین ماه ۲۳/۹ درجه سانتی‌گراد در تیرماه و میانگین سردترین ماه ۰/۱ درجه سانتی‌گراد در دی‌ماه هست. رژیم رطوبتی خاک زریک و رژیم حرارتی آن مزیک هست. از نظر زمین‌شناسی واحد شیل و ماسه‌سنگ ژوراسیک حدود ۶۳/۷ درصد، واحد آهک کرتاسه حدود ۶/۶ درصد و واحد پادگانه‌های آبرفتی قدیمی حدود ۳۰/۷ درصد در منطقه گسترش دارند (۴).

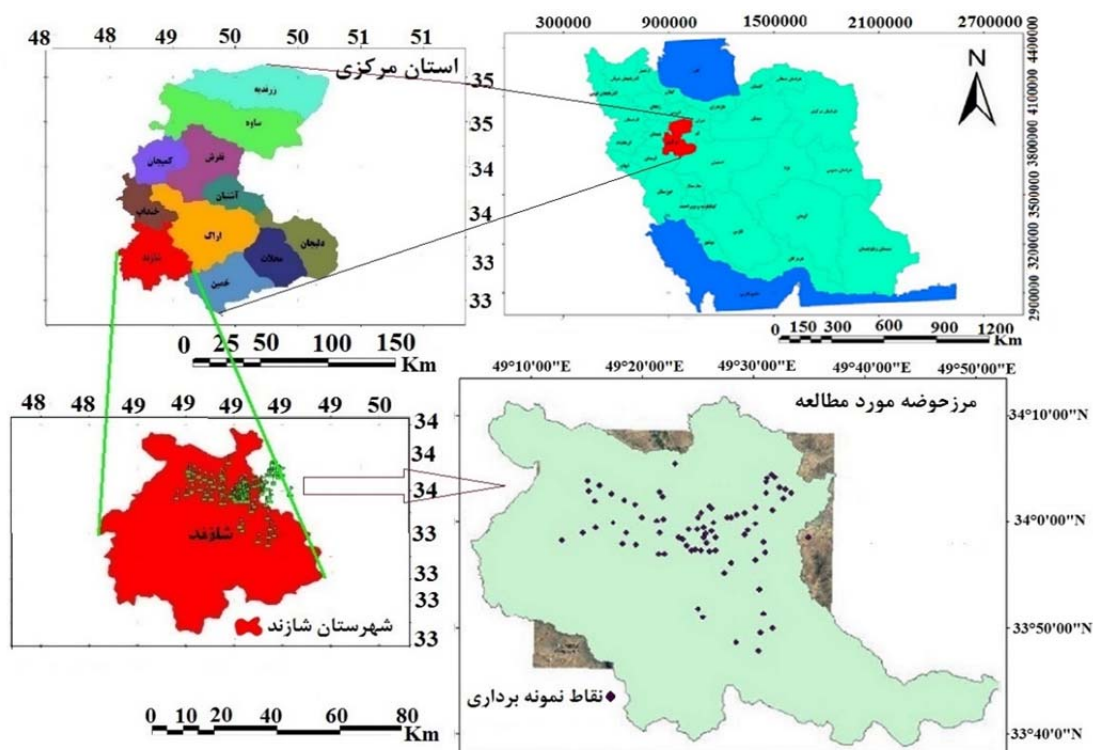
مطالعات صحراوی و آزمایشگاهی: با توجه به وسعت و شرایط موجود در این منطقه ۷۶ نقطه به صورت کاملاً تصادفی در دشت شازند تعیین گردید. نمونه‌برداری در چندین مرحله در اردیبهشت‌ماه سال ۱۳۹۷ (برابر با می ۲۰۱۸) صورت گرفت. برای بررسی پراکنش نقاط نمونه‌برداری شده در منطقه مورد نظر، از تصاویر ماهواره‌ای لذتست ۸ برابر با تاریخ نمونه‌برداری گفته شده، استفاده شد. مختصات جغرافیایی کلیه نقاط توسط دستگاه موقعیت‌یاب جهانی (GPS) ثبت گردید. شکل ۱ پراکنش نقاط در منطقه مورد مطالعه را نشان می‌دهد. نمونه‌برداری سطحی (۰-۳۰ سانتی‌متری) در دو کاربری مرتع و کشاورزی صورت گرفت. ۳۹ نقطه نمونه‌برداری در کاربری کشاورزی و ۳۷ نقطه در کاربری مرتع انجام گرفت. قابل توجه

به گونه‌ای چشم‌گیر بیشتر از سایر کاربری‌ها بود. تقی‌پور و همکاران (۲۷) تغییرات مکانی سرب و روی را در خاک‌های سطحی اطراف شهر همدان مورد بررسی قراردادند. نتایج تحلیل‌های زمین‌آماری نشان‌دهنده این مطلب بود که مدل کروی بهترین مدل برآذش شده بر غلظت سرب و روی است. براساس نقشه‌های پراکنش، عامل مؤثر بر روند افزایش این عناصر، نوع کاربری است. باقری و عرفانی‌فرد (۳) برای برآورد توزیع مکانی خشیکدگی درختان بلوط از درون‌یابی کریجینگ معمولی و ساده استفاده کردند. نتایج آنها نشان داد که کریجینگ ساده، دقیق‌ترین روش ارزیابی با مدل نمائی است و همبستگی مکانی را برای خشکیدگی درختان بلوط بدليل عوامل محیطی، متوسط گزارش کردند. شارما و سود (۲۱) از تکنیک کریجینگ معمولی برای پنهان‌بندی خصوصیات حاصلخیزی خاک در باغات سبب استفاده کردند. و همبستگی مکانی حاصله را برای ازت، فسفر، اسیدیته و کربن آلی قوی و برای پتانسیم و شوری خاک متوسط گزارش نمودند.

با توجه به اینکه منطقه صنعتی شازند از مناطق استراتژیک کشاورزی و استانی محسوب می‌شود و به دلیل فعالیت‌های صنعتی بسیار بالایی که دارد، می‌تواند منجر به ورود آلاینده‌های بسیاری به اراضی اطراف، بخصوص اراضی کشاورزی گردد، لذا ضرورت دارد غلظت فلزات سنگین در کاربری‌های متفاوت آن موردنبررسی قرار بگیرد. دشت شازند از دشت‌های حاصلخیز منطقه است، و به دلیل بارش‌های بسیاری که دارد برای کشت دیم و آبی بسیاری مورد توجه قرار گرفته است. طی تحقیقات محلی و مراکز تحقیقاتی استان، در مناطق کشاورزی شهرستان شازند دو عنصر مس و کادمیوم به عنوان عناصر آلاینده موجود در اراضی کشاورزی مورد توجه بودند، لذا برآن شدیم تا با کمک زمین‌آمار جهت تشخیص سریع و توزیع برخی فلزات سنگین دیگر در هر دو کاربری موجود در منطقه (مرتع و کشاورزی) اقدام نمائیم. بنابراین هدف از تحقیق حاضر اثر کاربری کشاورزی و مرتع بر آلودگی خاک به عناصر سنگین و تعیین الگوی توزیع مکانی آنها است.

و آب مقطر با دستگاه pH متر، قابلیت هدایت الکتریکی در عصاره سوسپانسیون ۱:۵ خاک و آب مقطر با دستگاه EC متر، میزان کربن آلی با روش والکی بلکه اصلاح شده مورد آزمایش قرار گرفتند. اندازه‌گیری غلظت کل عنصر سنگین با روش اسپوزیتو (۲۵) با کمک اسید نیتریک ۴ نرمال انجام گرفت. سپس نمونه‌ها با دستگاه جذب اتمی قرائت شدند.

است که کاربری مرتع شامل مناطق بایر، مرتع و مناطق اطراف شهرک صنعتی شازند هست. برای انجام مطالعات آزمایشگاهی نمونه‌ها هوا خشک گردیدند و نهایتاً از الک ۲ میلی‌متری عبور داده شدند. بافت خاک به روش هیدرومتری و بر اساس قانون استوکس، میزان کربنات‌کلسیم معادل با روش تیتراسیون، ظرفیت تبادل کاتیونی، اسیدیته (pH) خاک در سوسپانسیون ۱:۵ خاک



شکل ۱. موقعیت منطقه مطالعه و نقاط نمونه‌برداری بر روی حوضه مطالعه
Fig1. Study area location and sampling points on the studied catchment

توصیف آماری: بعد از تجزیه‌های آزمایشگاهی، به‌منظور توصیف نتایج آزمایش‌ها و به‌دست آوردن خلاصه‌ای از اطلاعات آماری از نرم‌افزار SPSS 19 استفاده شد. به‌منظور بررسی وضعیت توزیع فراوانی از میانگین، انحراف معیار، چولگی و کشیدگی استفاده گردید. برای تعیین همبستگی بین ویژگی‌های خاک و غلظت عنصر سنگین از ضریب همبستگی پیرسون استفاده شد. نرمال بودن توزیع داده‌ها با کمک نمودارهای فراوانی و توزیع تجمعی، استفاده از پارامترهای

آماری شامل چولگی و ضریب تغییرات، استفاده از آزمون‌های آماری مانند آزمون کولموگروف- اسمیرنف انجام شد.
تحلیل‌های زمین‌آمار: نقشه‌های پایه مورد استفاده در این تحقیق شامل نقشه‌های ۱/۵۰۰۰۰ کاربری اراضی، و نقشه خاک منطقه مورد مطالعه بود. پس از وارد کردن نقشه منطقه در محیط ArcGIS، رقومی‌سازی نقشه انجام شد و موقعیت کلیه نقاط ثبت شده، بر روی آن مشخص گردید. به‌منظور انجام تجزیه و تحلیل‌های زمین‌آماری باید نمونه‌ها از توزیع نرمال تبعیت کنند. پس از نرمال‌سازی داده‌ها و بررسی همسانگردی و

ناهمسانگردی تغییرات مکانی متغیرها، الگوهای تغییرنما و Variowin 2.2 سطحی برای متغیرهای مورد نظر در برنامه ترسیم شد. مناسب‌ترین مدل برای متغیرها برآش یافت. تمامی اجزای الگو شامل اثر قطعه‌ای، دامنه تاثیر و حد آستانه نیز بدست آمد. معادلات مورداستفاده برای تعیین تغییرنما در رابطه ۱ و ۲ آورده شده است:

$$\text{رابطه (۱)} \quad = 1/2 \text{var}[Z(x+h) - Z(x)] \quad \gamma(h)$$

$$\text{رابطه (۲)} \quad \gamma(h) = 1/2N(h) \sum [Z(x_i) - Z(x_i+h)]^2$$

h تعداد جفت نمونه‌های جداده در فاصله گام $N(h)$ مقدار متغیر اندازه‌گیری شده در نقطه i و $Z(x_i+h)$ مقدار متغیر اندازه‌گیری شده در موقعیت مکانی $i+h$ هست. تداوم و پیوستگی متغیر مورد مطالعه در آهنگ افزایش (x) نسبت به مقادیر مختلف h منعکس می‌شود. دامنه همبستگی مکانی با کمک نسبت همبستگی مکانی (تقسیم اثر قطعه‌ای به حد آستانه $C_0/(C_0+C)$) محاسبه گردید. بنابراین دامنه همبستگی مکانی متغیر با کمک تغییرنما مشخص می‌شود. هرچقدر متغیر مورد مطالعه دارای تغییرپذیری بیشتری باشد، دامنه همبستگی مکانی آن کاهش خواهد یافت. بهنحوی که مقادیر کمتر از ۲۵ درصد به عنوان وابستگی مکانی قوی، بین ۲۵ تا ۷۵ درصد وابستگی متوسط و مقادیر بیشتر از ۷۵ درصد دارای وابستگی مکانی ضعیف هست (۲۰).

از زیبایی اعتبار سنجی: جهت بررسی صحت الگوی برآش داده شده، از معیار آماری میانگین خطای تخمین (MEE) و مجددور میانگین مربعات خطای تخمین (RMSE) استفاده شد (رابطه ۳ و ۴). براساس اینکه میانگین خطای تخمین باقیستی برابر صفر و یا نزدیک به صفر باشد و میانگین مربعات خطای تخمین حداقل شود، واریوگرام معتبر برای انجام کریجینگ انتخاب گردید. بهمنظور بررسی اعتبار تغییرنما، انتخاب پارامترهای مدل به نحوی صورت گرفت که مدل نهایی، دارای حداقل میانگین خطای تخمین باشد:

رابطه (۳)

$$\text{MEE} = (1/n) + \sum [Z^*(x_i) - Z(x_i)]$$

رابطه (۴)

$$\text{RMSE} = \sqrt{1/n \sum [(Z(x_i) - Z^*(x_i))^2]}$$

که در آن $Z^*(x_i)$ مقدار تخمین‌زده شده x_i (x_i مقدار مشاهده شده x_i می‌باشد. و n تعداد داده‌ها می‌باشد. برای بررسی تغییرات مکانی متغیرها از روش کریجینگ معمولی و ساده استفاده شد. نقشه میانیابی کریجینگ معمولی و نقشه واریانس تخمین توسعه نرم افزار ArcGIS 9.3، برای هر عنصر ترسیم گردید.

نتایج

بررسی برخی خصوصیات فیزیکی و شیمیایی: جدول ۱ میانگین مقادیر مربوط به برخی خصوصیات فیزیکی و شیمیایی اندازه‌گیری شده را در دو کاربری کشاورزی و مرتع نشان می‌دهد. مواد آلی در منطقه مطالعاتی دارای میانگین ۳/۳۲ درصد با دامنه تغییرات ۱/۶، با بیشترین مقدار ۳/۸۶ درصد و کمترین مقدار ۳/۲۶ درصد هست. بیشترین مقدار کرین آلی، در کاربری کشاورزی با میانگین ۳/۳۸ درصد برآورد شد. به نظر می‌رسد که استفاده از کودهای حیوانی، لجن فاضلاب و بازگشت بقایای گیاهی از مهم‌ترین عوامل افزایش درصد ماده آلی در مناطق کشاورزی باشد. میانگین مقدار رس، سیلت و شن در خاک به ترتیب برابر ۴۱/۹۹، ۳۱/۹، ۲۶/۱ و ۴۱/۹ درصد هست. بر اساس نتایج آزمایشگاهی دامنه تغییرات بافت نمونه‌های خاک منطقه در محدوده لومی-رسی تا لومی قرار می‌گیرند. میانگین pH در منطقه برابر ۷/۹۳ بوده و کاربری کشاورزی دارای بیشترین مقدار pH هست. میانگین مقدار قابلیت هدایت الکتریکی در خاک ۰/۱۵ دسی‌زیمنس بر متر بود. میانگین آهک در منطقه برابر ۲۹/۶۴ درصد بوده و کاربری کشاورزی دارای مقدار آهک بالاتری نسبت به کاربری مرتع است.

جدول ۱. برخی از خصوصیات فیزیکوشیمیائی نقاط نمونهبرداری شده در دو کاربری
Table 1. Some physico-chemical properties of sampling points in two landuses

کاربری Land use	ویژگی‌های خاک Soil pr.	میانگین Mean	ماکریم Max.	مینیمم Min.	انحراف معيار Standard deviation	ضریب تغییرات CV	چولگی Skewness	کشیدگی Kurtosis
Agriculture	EC (dSm ⁻¹) شوری	۰/۱۵	۰/۳۹۶	۰/۰۹۶	۰/۰۶	۳۹/۴۶	۲/۲۴	۷/۴۵
	pH اسیدیتہ	۶/۹۷	۷/۳۹	۶/۵۰	۰/۲۴	۳/۴۶	-۰/۴۲	-۰/۰۱
	CaCO ₃ (%) درصد آهک	۳۰/۱۵	۵۷/۰۰	۱/۰۰	۱۳/۸۷	۴۰/۹۹	-۰/۴۱	-۰/۰۱
	CEC (cmol ⁽⁺⁾ kg ⁻¹) ظرفیت تبادل کاتیونی	۲۱/۸۳	۴۲/۴۷	۴/۲۴	۱۲/۵۲	۴۸/۰۸	-۰/۴۶	-۰/۰۹
	کشاورزی Shoerz	۲۵/۰۰	۴۷/۰۰	۵/۰۰	۱۰/۲۳	۴۰/۹۳	-۰/۰۵	-۰/۳۸
	O.C (%) کربن آلی	۳/۳۸	۳/۸۶	۲/۹۲	۰/۳۰	۸/۸۵	-۰/۰۶	-۱/۳۱
	Sand (%) شن	۴۴/۴۷	۷۵/۰۰	۱۷/۰۰	۱۴/۵۱	۳۲/۶۳	-۰/۱۸	-۰/۷۸
	Silt (%) سیلت	۳۰/۵۲	۵۱/۰۰	۱۴/۰۰	۹/۱۷	۳۰/۰۵	-۰/۱۴	-۰/۷۰
	Clay (%) رس	۲۵/۰۰	۴۷/۰۰	۵/۰۰	۱۰/۲۳	۴۰/۹۳	-۰/۰۵	-۰/۳۸
	EC (dSm ⁻¹) شوری	۰/۱۶	۰/۵۳	۰/۰۷	۰/۰۹	۶۱/۲۹	۳/۱۸	۱۰/۶۱
Rangeland	pH اسیدیتہ	۶/۸۸	۷/۳۰	۷/۴۷	۰/۲۶	۳/۷۱	۰/۱۱	-۱/۱۹
	CaCO ₃ (%) درصد آهک	۲۹/۱۰	۶۱/۰۰	۲/۵۰	۱۳/۱۸	۴۰/۲۹	-۰/۴۱	۰/۴۱
	CEC (cmol ⁽⁺⁾ kg ⁻¹) ظرفیت تبادل کاتیونی	۲۳/۰۷	۴۵/۸۷	۴/۲۴	۹/۸۹	۴۲/۷۱	-۰/۲۴	-۰/۳۳
	O.C (%) کربن آلی	۳/۲۶	۳/۸۶	۲/۲۶	۰/۳۹	۱۲/۰۲	-۰/۲۹	-۰/۲۵
	Sand (%) شن	۳۹/۳۸	۸۲/۰۰	۱۲/۰۰	۱۸/۲۱	۴۷/۲۴	۰/۷۹	-۰/۳۹
	Silt (%) سیلت	۳۳/۳۶	۵۵/۰۰	۹/۰۰	۱۰/۹۳	۳۲/۷۵	-۰/۰۱	۰/۰۱
	Clay (%) رس	۲۷/۲۷	۴۳/۵۰	۷/۰۰	۱۱/۰۴	۴۰/۵۲	-۰/۰۹	-۱/۰۹
	EC (dSm ⁻¹) شوری	۰/۱۵	۰/۵۳	۰/۰۷	۰/۰۹	۵۱/۱۰	۳/۱۴	۱۱/۶۹
Total	pH اسیدیتہ	۶/۹۳	۷/۳۹	۷/۴۷	۰/۲۵	۳/۶۲	-۰/۱۶	-۱/۰۱
	CaCO ₃ (%) درصد آهک	۲۹/۶۴	۶۱/۰۰	۱/۰۰	۱۳/۴۵	۴۵/۴۰	-۰/۴۱	۰/۱۰
	CEC (cmol ⁽⁺⁾ kg ⁻¹) ظرفیت تبادل کاتیونی	۲۲/۴۴	۴۵/۸۷	۴/۲۴	۱۰/۱۶	۴۵/۲۰	۰/۳۴	-۰/۴۴
	O.C (%) کربن آلی	۳/۳۲	۳/۸۶	۲/۲۶	۰/۳۵	۱۰/۰۵	-۰/۳۱	-۰/۲۱
	Sand (%) شن	۴۱/۹۹	۸۲/۰۰	۱۲/۰۰	۱۶/۵۰	۳۹/۳۰	۰/۲۷	-۰/۷۳
	Silt (%) سیلت	۳۱/۹۱	۵۵/۰۰	۹/۰۰	۱۰/۱۰	۳۱/۶۵	۰/۱۷	-۰/۳۹
	Clay (%) رس	۲۷/۱۰	۴۷/۰۰	۵/۰۰	۱۰/۶۲	۴۰/۷۱	-۰/۲۳	-۰/۹۱

در خاک‌های منطقه ۳۱/۷ میلی‌گرم بر کیلوگرم با حداکثر ۴۱/۶۳ و حداقل ۹/۹۳ میلی‌گرم بر کیلوگرم هست. بیشترین ضریب تغییرات غلظت مس مربوط به اراضی مرتع می‌باشد. میانگین غلظت روی کل در منطقه مطالعاتی ۵۴/۱۲ میلی‌گرم بر کیلوگرم بوده و دامنه تغییرات آن ۱۱/۴۰، با حداکثر ۷۲/۰۱ و حداقل ۳۹/۳۱ میلی‌گرم بر کیلوگرم است (جدول ۲).

بررسی غلظت عناصر سنگین مورد مطالعه: خلاصه‌ای از آمار توصیفی عناصر سنگین در جدول ۲ نشان داده شده است. میانگین غلظت کادمیم کل در خاک ۲/۰۵ میلی‌گرم بر کیلوگرم بوده و دامنه تغییرات آن ۱/۷۷ میلی‌گرم بر کیلوگرم با حداکثر ۲/۸۷ و حداقل ۱/۱۰ میلی‌گرم بر کیلوگرم هست. کاربری کشاورزی با میانگین ۲/۰۸ میلی‌گرم بر کیلوگرم بیشترین غلظت کادمیم را در منطقه دارد. دامنه تغییرات غلظت مس کل

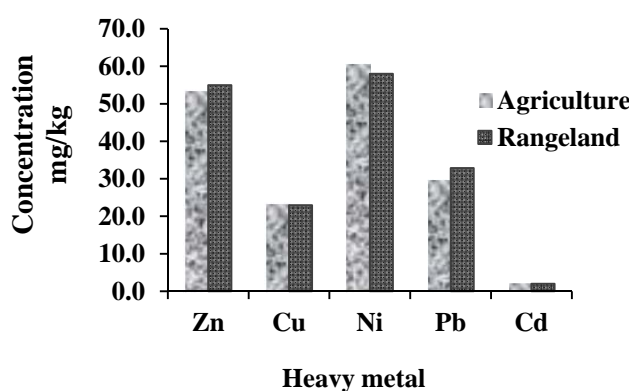
جدول ۲. غلظت عناصر سنگین و خصوصیات آماری آنها در خاک‌های مورد مطالعه

Table 2. Heavy metals concentration and their statistical analyses in the soils studied

کشیدگی Kurtosis	چولگی Skewness	ضریب تغییرات (%)CV	انحراف معیار Standard deviation	Min.	Max.	Mean	تعداد No.	کاربری Land use	عنصر Element
				(mg kg ⁻¹)					
۰/۶۹	-۰/۳	۱۶/۴۴	۰/۳۴	۱/۱۶	۲/۸۳	۲/۰۸	۳۹	کشاورزی	
-۰/۴۵	-۰/۱۹	۲۲/۱۳	۰/۴۴	۱/۱	۲/۸۷	۲/۰۱	۳۷	مرتع	Cd
۰/۵۴	-۰/۲۹	۱۹/۲۷	۰/۳۹	۱/۱	۲/۸۷	۲/۰۵	۷۶	کل	
-۰/۴	-۰/۰۵	۱۶/۸۷	۳/۹۲	۱۴/۳۵	۳۱/۰۳	۲۳/۲۵	۳۹	کشاورزی	
۴/۹۸	۱	۲۱/۹۶	۵/۰۴	۹/۹۳	۴۱/۱۳	۲۲/۹۷	۳۷	مرتع	Cu
۳/۴۳	-۰/۶۵	۱۹/۳۶	۴/۴۷	۹/۹۳	۴۱/۶۳	۲۳/۱۱	۷۶	کل	
۰/۴۲	-۰/۳۸	۹/۳۹	۰	۴۱	۶۳/۹	۵۳/۳۱	۳۹	کشاورزی	
-۰/۰۹	۰/۰۴	۱۳/۶۷	۵/۰۱	۳۹/۳	۷۲	۵۴/۹۸	۳۷	مرتع	Zn
۰/۴۳	۰/۱	۱۱/۷۶	۶/۳۶	۳۹/۳	۷۲	۵۴/۱۲	۷۶	کل	
۱/۶۲	۰/۲۳	۱۹/۳۶	۵/۷۳	۱۲/۹۲	۴۵/۹۸	۲۹/۶	۳۹	کشاورزی	
۳/۱۷	۱/۷	۴۳/۴	۱۴/۲۷	۱۵/۲۳	۷۷/۸۸	۳۲/۸۸	۳۷	مرتع	Pb
۶/۹۶	۲/۱۷	۳۴/۶۸	۱۰/۸۲	۱۲/۹۲	۷۷/۸۸	۳۱/۲	۷۶	کل	
۰/۶۹	۰/۵۸	۱۵/۷۴	۹/۵۴	۴۱/۶۴	۸۶/۷	۶۰/۶	۳۹	کشاورزی	
-۰/۷۴	۰/۰	۲۲/۵۳	۱۳/۰۷	۴۰/۶۵	۸۵/۱	۵۸	۳۷	مرتع	Ni
-۰/۳	۰/۴	۱۹/۲	۱۱/۰۱	۴۰/۶۵	۸۶/۷	۵۹/۴	۷۶	کل	

میلی‌گرم بر کیلوگرم بیان شده است، البته حداقل غلظت مجاز در خاک‌های کشاورزی ۵۰ میلی‌گرم بر کیلوگرم در نظر گرفته می‌شود (۱۳). مقایسه میانگین عناصر سنگین نامبرده در شکل ۲ نمایش داده شده است. همانطور که مشاهده می‌شود عناصر مس، نیکل و کادمیم در کاربری کشاورزی و فلزات روی و سرب در مرتع غلظت بالاتری دارند.

میانگین غلظت سرب کل در منطقه مطالعه ۳۱/۲۰ میلی‌گرم بر کیلوگرم بوده و دامنه تغییرات آن در خاک‌های منطقه حدود ۶۳/۹۶ میلی‌گرم بر کیلوگرم با کمترین غلظت ۱۳/۹۲ و بیشترین غلظت ۷۷/۸۸ میلی‌گرم بر کیلوگرم هست (جدول ۲). اراضی کشاورزی با میانگین ۶۰/۶ میلی‌گرم بر کیلوگرم نسبت به اراضی مرتع بیشترین غلظت نیکل را دارا می‌باشند. حداقل غلظت مجاز نیکل در اکثر کشورها برابر ۱۰۰



شکل ۲. مقایسه میانگین غلظت فلزات سنگین در دو کاربری کشاورزی و مرتع

Fig 2. Comparison mean of heavy metals concentration in agriculture and rangeland use

مطالعاتی بالاتر از حد استاندارد است. همچنین مقایسه نتایج با داده‌های داخل کشور نشان می‌دهد که میانگین غلظت روی کل در منطقه شازند نسبت به قم و اصفهان بیشتر است. غلظت سرب، نیکل و کادمیم نیز نسبت به تمام شهرهای نامبرده بالاتر بدست آمده است (جدول ۳).

به‌منظور کنترل کیفیت نتایج تجزیه فلزات سنگین در نمونه‌های خاک و سنگ یک نمونه استاندارد موسسه تحقیقات ملی فناوری آمریکا (NST) به نام # ۲۷۰۹ San Joaquin و با مشخصات ارائه شده در جدول ۳ تهیه شده و غلظت عناصر مورد مطالعه در آن اندازه‌گیری شده است. در مقایسه با جدول مذکور به‌طورکلی میانگین غلظت عنصر کادمیم در منطقه

جدول ۳. مقدار فلزات سنگین در یک نمونه استاندارد و شهرهای مختلف ایران (میلی گرم بر کیلوگرم)
Table 3. Value of heavy metals (mg kg^{-1}) in standard sample and different cities of Iran

Cu	Ni	Cd	کادمیم	Pb سرب	Zn روی	عنصر Element
$۳۴/۶\pm ۰/۷$	۸۸ ± ۵	$۰/۳۸\pm ۰/۰۱$	$۱۸/۹\pm ۰/۶$	$۱۰/۶\pm ۳$	San Joaquin# 2709	(استاندارد)
۳۷/۵	۵۶/۶	۱/۲	۲۳/۹	۷۱/۴		همدان ^۱
-	۹/۶	۰/۴	۲۷/۲	۴۴/۴		قم ^۲
-	-	۱/۷	۲۵/۶	۴/۵		اصفهان ^۳
-	۵۴/۷	۱/۲	۹/۵	۶۶/۸		مشهد ^۴

1. Taghipoor (2011); 2. Movahedi rad (2008); 3. Amini (2005); 4. Shirani (2007)

شد، که برای سایر عناصر رابطه مثبت، اما معنی‌دار نبود. عنصر نیکل همبستگی معنی‌دار با pH، CEC، درصد سیلت و شن ($p < 0.05$)، عنصر مس همبستگی معنی‌دار با آهک، و عنصر روی همبستگی معنی‌دار با CEC، کربن آلی، آهک، درصد سیلت و شن دارند. هرچه آهک در خاک بیشتر باشد، روی به صورت کربنات روی رسوب می‌کند و قابلیت دستررسی آن کم می‌شود.

همبستگی متغیرها: جدول ۴ نتایج ضریب همبستگی عناصر سنگین و خصوصیات فیزیکی و شیمیایی خاک‌های مورد بررسی در این مطالعه را نشان می‌دهد. با توجه به جدول ۴ به‌طورکلی ارتباط قوی معنی‌داری بین عناصر سنگین با درصد رس مشاهده نشد، اما در کل در تمام عناصر همبستگی مثبت بود. بین عناصر نیکل ($p < 0.05$) و روی ($p < 0.05$) با سیلت همبستگی مثبت معنی‌داری دیده شد، $p < 0.01$ با سیلت همبستگی مثبت معنی‌داری دیده شد.

جدول ۴. ضریب همبستگی بین عناصر سنگین و خصوصیات فیزیکو شیمیایی خاک

Table 4. Correlation coefficient between heavy metals and soil physicochemical properties

درصد شن Sand%	درصد سیلت Silt%	درصد رس Clay%	درصد آهک $\text{CaCO}_3\%$	کربن آلی %O.C	ظرفیت تبادل کاتیونی (cmol ₍₊₎ /kg) CEC	pH اسیدیتیه	هدایت الکتریکی (dS/m) EC	عناصر element
-0/۳*	0/۳*	ns [*] /172	ns [*] -0/۰۹۶	ns [*] 0/۰۹۸	0/۷*	-0/۳*	ns [*] -0/۱۳۳	نیکل Ni
ns [*] 0/۰۲۷	ns [*] 0/۱۲	ns [*] 0/۰۶۵	-0/۲۳*	ns [*] 0/۰۹۲	ns [*] 0/۰۱۵	ns [*] -0/۱۳	ns [*] 0/۰۱۶	مس Cu
-0/۳۱ **	0/۴ **	ns [*] 0/۱۳۱	-0/۳۴ **	0/۲۳*	0/۳*	ns [*] -0/۱۸	ns [*] 0/۰۶۶	روی Zn
ns [*] -0/۰۵۵	ns [*] 0/۰۲	ns [*] 0/۰۵۷	ns [*] -0/۱۶۵	ns [*] 0/۰۱۶	ns [*] 0/۱۸	-0/۳ **	ns [*] -0/۱۵۰	سرب Pb
ns [*] -0/۰۱۸	ns [*] 0/۰۹	ns [*] 0/۰۵۸	ns [*] 0/۱۱۵	ns [*] 0/۱۶۳	ns [*] 0/۰۰۳	ns [*] -0/۱۴	ns [*] 0/۰۲۵	کادمیوم Cd

* معنی‌دار نبودن در سطح خطای 0/۰۵ ** معنی‌دار بودن در سطح خطای 0/۰۵ ns معنی‌دار نبودن در سطح خطای 0/۰۱

CEC:Cation Exchange Capacity; EC: Electrical Conductivity

نشان می‌دهد. عنصر نیکل ارتباط مثبت و معنی‌داری با مس ($p < 0.01$) و روی ($p < 0.01$) نشان داده

عنصر سرب فقط همبستگی منفی معنی‌دار با pH ($p < 0.01$) دارد. جدول ۵ همبستگی بین عناصر سنگین را

است. همچنین مس نیز همبستگی مثبت و معنی‌داری با روی

($r = 0.40$) دارد.

جدول ۵. ضریب همبستگی بین عناصر سنگین مورد مطالعه

Table 5. Correlation coefficient within heavy metals studied

عنصر سنگین	Niکل	Ni	مس	Zn روی	Pb سرب	Cd کادمیوم	Cd اکسید
Niکل	۱						
Cu مس		۰/۴۱**					
Zn روی			۰/۴**				
Pb سرب				۰/۰۴۳			
Cd کادمیوم					۰/۰۲۸		
ns							ns

* معنی‌دار بودن در سطح خطای ۰/۰۵ ** معنی‌دار بودن در سطح خطای ۰/۰۱

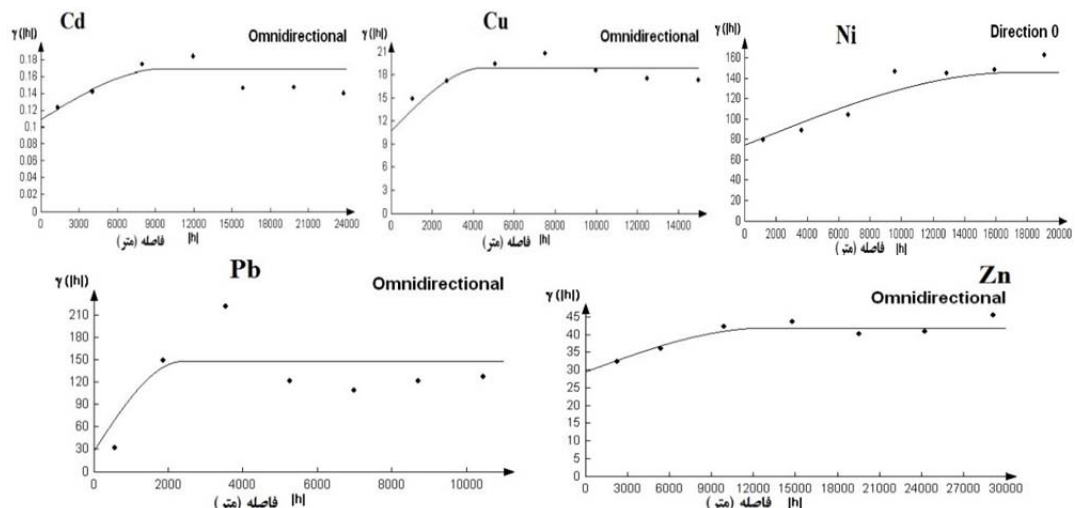
کمترین خطای تخمین و کمترین میانگین مربعات خطای بدست آمد و از اطلاعات تغییرنامای آن برای تهیه نقشه‌های پراکندگی و خطای تخمین استفاده گردید. نتایج جدول ۶ نشان داد که از بین دو روش کریجینگ معمولی و ساده، روش کریجینگ معمولی عملکرد بهتری با توجه به شاخص‌های ارزیابی خطای (RMSE و MEE) و ضریب همبستگی^(۲) بین متغیرهای اندازه‌گیری شده و تخمین زده شده، ارائه کرده است. لذا نقشه‌های توزیع مکانی متغیرهای مورد مطالعه، حاصل روش کریجینگ معمولی هست. با توجه به جدول ۶، داده‌های نیمه‌حرفه‌ای عناصر با مدل کروی بهترین برازش را داشته‌اند. بالاترین دامنه تاثیر مربوط به عنصر Niکل با دامنه ۱۷۲۰۰ متر و کمترین دامنه تاثیر برای عنصر سرب برابر با ۲۳۵۶ متر بدست آمد. با توجه به اینکه مقادیر کمتر از ۲۵ درصد برای نسبت اثر قطعه‌ای به حد آستانه بیانگر همبستگی قوی مکانی برای متغیر مورد نظر می‌باشد، عنصر سرب (نسبت ۲۴ درصد اثر قطعه‌ای نسبی) در کلاس همبستگی قوی قرار گرفت.

پراکنش مکانی عناصر سنگین

تغییرناماهای سطحی عناصر سنگین مورد بررسی، انجام شد و با توجه به تقارن تغییرناماهای سطحی، توزیع متغیرهای روی، سرب، کادمیم و مس در منطقه همسانگرد بوده و این واقعیت بیانگر این است که تغییرپذیری این متغیرها در جهات مختلف جغرافیایی یکسان است. تغییرنامای همه جهت‌هه برای عناصر روی، مس، کادمیوم و سرب با توجه به همسانگردی آنها رسم گردید (شکل ۳) و همچنین برای عنصر Niکل با توزیع ناهمسانگردی در منطقه، تغییرنامای جهتی (چهار زاویه ۹۰، ۱۳۵ و ۴۵ درجه) بهمنظور تعیین جهت و درجه ناهمسانگردی ترسیم گردید. نتایج تغییرنامای عناصر سنگین مورد بررسی به همراه مدل‌های برازش داده شده به آن‌ها و کنترل اعتبار تغییرنما در جدول ۶ ارائه شده است. تغییرنامای عنصر Niکل در تمامی امتدادها مورد بررسی قرار گرفت و بر اساس این تغییرناماهای جهت‌های اصلی ناهمسانگردی مشخص شد. بنابراین تغییرنامای عنصر Niکل در جهت ۰-۲۲/۵ با

جدول ۶. ویژگی‌های مدل تغییرنما برآورد یافته برای عناصر سنگین
Table 6. The parameters for fitted variogram model for heavy metals

Simple			Ordinary			دامنه تأثیر	(C_0/C_0+C)	حد آستانه	اثر قطعه‌ای	الگو	عنصر
R ²	RMSE	MEE	R ²	RMSE	MEE	A(m)		(Sill)	(Sill)	(C_0)	تغییرنما
										C ₀	Element
۰/۰۱	۷/۲۲	-۰/۰۲	۰/۴	۷/۱۰	۰/۰۹۱	۱۲۹۰۰	۲/۴	۱۲/۴	۲۹/۷	کروی	Zn
۰/۰۳	۰/۳۸	۰/۰۳	۰/۲	۰/۴	-۰/۰۱	۹۶۰۰	۱/۶	۰/۰۶۹	۰/۱۱	کروی	Cd
۰/۰۳	۴/۴۴	-۴/۸۷	۰/۳۳	۵/۵	-۰/۲۳	۴۵۰۰	۱/۳۲	۸/۲	۱۰/۸	کروی	Cu
۰/۰۱	۱۰/۱۸	-۰/۰۴	۰/۳	۱۰/۶۲	-۰/۲۰	۲۳۵۴	۰/۲۴	۱۲۰	۲۸/۸	کروی	Pb
۰/۲	۱۲/۲۸	-۰/۰۵	۰/۳	۱۱/۹	-۰/۰۴	۱۷۲۰۰	۱/۰۵	۷۱/۵	۷۵/۲	کروی	Ni



شکل ۳. تغییرنما همه جهته فلزات روی، کادمیوم، مس، سرب و نیکل

Fig 3. Variogram of Zn, Cd, Cu, Pb and Ni metals

ناهمسانگردی و جهت جغرافیایی آن نشان‌دهنده جهت روند و عامل ایجادکننده ناهمسانگردی است. عنصر نیکل در جهت شمال شرقی به جنوب غربی دارای ناهمسانگردی هست.

خصوصیات بیضی ناهمسانگردی برای عنصر نیکل در جدول ۷ نشان داده شده است. نسبت ناهمسانگردی شاخصی است برای بیان شدت ناهمسانگردی و هرچه از واحد بیشتر باشد، نشان از ناهمسانگردی بالای آن متغیر دارد. امتداد

جدول ۷. خصوصیات بیضی ناهمسانگردی عنصر نیکل، در منطقه مورد مطالعه

Table 7. Characrisitics of anisotropy elliptical for nikle element in the study area

Anisotropy ratio	نسبت ناهمسانگردی	جهت جغرافیایی	شعاع کوچک (m)	شعاع بزرگ (m)	امتداد (درجه)	متغیر
		Geographical direcation	Small radius	Large radius	Extension	
۱/۳۶		NE-SW	۱۴۰۸۶	۱۹۲۰۰	۴۴	نیکل

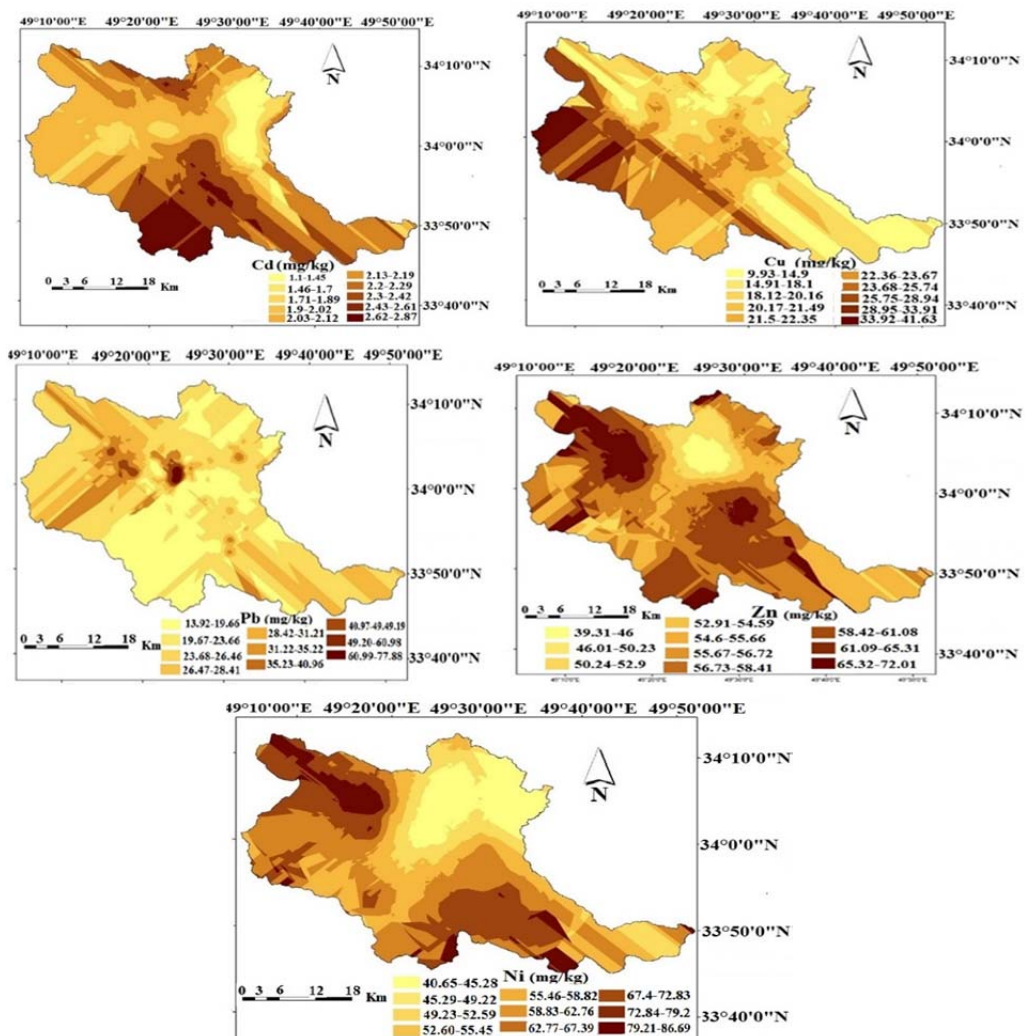
مساحت بیشتری از نقشه به چشم می‌خورد (شکل ۴). همان‌طور که در شکل ۴ مشاهده می‌شود، پراکنش نقاط در منطقه نشان می‌دهد که منطقه صنعتی شازند بیشترین درصد غلظت سرب را در بردارند. شهرک صنعتی شازند در مرکز نقشه بیشترین غلظت سرب را نمایش داد. جدول ۸ نتایج مقایسه تخمین‌های حاصل از کریجینگ سرب با داده‌های واقعی را عنوان نمونه نشان می‌دهد. ضریب پیرسون محاسبه شده بین مقدار واقعی داده‌ها و مقدار تخمینی در کریجینگ برابر 0.3^* و در سطح 0.05 معنی‌دار است. در تخمین غلظت سرب کل، کریجینگ اثر پیرایشی داشته و انحراف معیار مقادیر تخمینی $5/54$ را نسبت به مقدار واقعی کاهش نشان می‌دهد. بیشترین غلظت نیکل را شهر شازند (جنوب شرق) و شمال غرب منطقه در برداشته‌اند (شکل ۴). جدول ۹ نتایج مقایسه تخمین‌های حاصل از کریجینگ بلوکی نیکل با داده‌های واقعی را نشان می‌دهد. ضریب پیرسون محاسبه شده بین مقدار واقعی داده‌ها و مقدار تخمینی در کریجینگ برابر 0.32 و در سطح 0.01 معنی‌دار شد. در تخمین غلظت نیکل نیز، کریجینگ اثر پیرایشی داشته و انحراف معیار مقادیر تخمینی $2/7$ نسبت به مقدار واقعی کاهش نشان داد. هم‌چنین مقدار حداقل تخمین به اندازه $8/16$ واحد و مقدار حداقل تخمین به اندازه $0/07$ واحد نسبت به داده‌های واقعی تفاوت دارد.

پهنه‌بندی عناصر سنگین با کمک درون‌یابی: در این مطالعه کریجینگ به شکل بلوکی برای متغیرهای موربدبررسی، استفاده شد. در حالت تخمین بلوکی، یک بلوک بهوسیله تخمین تعداد زیادی نقطه و سپس محاسبه انتگرال آن‌ها شبیه‌سازی می‌شود. در ادامه با استفاده از اطلاعات حاصل از محاسبات نیمه-تغییرنما، کریجینگ معمولی به شکل بلوکی برای عناصر مورد مطالعه، انجام گرفت. ترسیم نقشه‌ها در محیط ArcGIS انجام شد. شکل ۴، پهنه‌بندی حاصله برای 5 عنصر مورد مطالعه را نشان می‌دهد. نقشه پراکنش مکانی عنصر کادمیوم که از کریجینگ بلوکی حاصل شده، نشان می‌دهد که، بیشترین غلظت‌های عنصر کادمیوم در جنوب نقشه و با توجه به تصاویر ماهواره‌ای منطقه (لندست ۸)، پشت منطقه پتروشیمی شازند به سمت شهر شازند است. این مناطق مساحت بیشتری از اراضی کشاورزی را شامل می‌شود. هم‌چنین مناطق شهری شهرستان شازند و اراضی کشاورزی نزدیک به منطقه صنعتی شازند نیز حاوی غلظت بالای کادمیوم می‌باشند. لذا از نظر سلامتی می‌توان گفت در مرز هشدار قرار دارند. در شکل ۴ مشاهده می‌شود، که نقاطی با کاربری کشاورزی غلظت مس بیشتری را نسبت به مرتع دارا هستند. بیشترین پراکنش غلظت مس در غرب و جنوب غربی منطقه مشاهده شد. نقشه پهنه‌بندی روی، بیشترین میزان غلظت را در جنوب شرق، شمال غرب و غرب منطقه نمایش داده است. پراکنش غلظت بالای روی در

جدول ۸. تخمین‌های حاصل از کریجینگ سرب با داده‌های واقعی

Table 8. Estimates of lead kriging with real data

کریجینگ بلوکی	داده‌های استفاده شده در تخمین	معیار
۷۶	۷۶	تعداد Value
۳۱/۰۰۲	۳۱/۲۰	میانگین Mean
۵/۲۸۰	۱۰/۸	انحراف معیار Standard deviation
۳۰/۹۳	۲۹/۴	میانه middle
۱۸/۹۹	۱۳/۹	حداقل Min.
۶۰/۲۳	۷۷/۸	حداکثر Max.
-۰/۲۰	-	میانگین خطای Error Mean
۱۰/۶۲	-	مجموعه مربوطات میانگین خطای EMSS
۰/۳*		ضریب همبستگی Correlation Coefficient



شکل ۴. نقشه پراکنش مکانی عناصر سنگین (mg kg^{-1}) حاصل از کریجینگ معمولی در منطقه مورد مطالعه

Fig 4. Spatial distribution maps of heavy metals obtained from ordinary Kriging in the study area

جدول ۹. تخمین‌های حاصل از کریجینگ نیکل با داده‌های واقعی

Table 9. Estimates of Nikle kriging with real data

کریجینگ بلوکی	داده‌های استفاده شده در تخمین	معیار
۷۶	۷۶	تعداد Value
۵۹/۳۱۸	۵۹/۳۶	میانگین Mean
۸/۷۱۲	۱۱/۴۰	انحراف معیار Standard deviation
۵۸/۰۳۹	۵۸/۰۶	میانه Middle
۴۰/۵۸۷	۴۰/۶۵	حداقل Min.
۷۸/۵۰۶	۸۶/۶۹	حداکثر Max.
-۰/۰۴	-	میانگین خطای Error Mean
۱۱/۹۱	-	مجموعه مربعات میانگین خطای EMSS
.۳۲**		ضریب همبستگی پیرسون Correlation Coffiecient

و نیکل دارای نسبت بالاتر از $0/75$ می‌باشد، لذا دارای همبستگی مکانی ضعیف استند. و عنصر سرب با داشتن نسبت اثر قطعه‌ای به حد آستانه کمتر از $0/25$ دارای همبستگی قوی است. لذا این نسبت می‌تواند بیان کند که فاکتورهای بیرونی مانند فعالیت شرکت پتروشیمی و عوامل حمل و نقل بر روی این همبستگی موثر هستند (۱۱). یانگ و همکاران (۳۰) برای متغیرهای مس و سرب دامنه تأثیر به ترتیب $7/37$ و $3/42$ کیلومتر را گزارش نمودند. هانی و همکاران (۱۱)، نشان دادند که مدل کروی برای عنصر آهن، مدل گوسی برای منگنز و برای کادمیم مدل نمائی برآذش بهتری دارد. آنان گزارش دادند که برای تمام عناصر مطالعه شده بجز منگنز، دامنه تأثیر کمتر از یک کیلومتر بوده، بطوری که همبستگی مکانی قوی برای عناصر مشاهده نکردند و همبستگی مکانی را متوسط بدست آورند. گو و همکاران (۱۰) مدل نمائی را برای عنصر نیکل و آرسنیک با همبستگی بالاتر از $0/8$ ، و برای عناصر مس، سرب، کادمیم، روی و کروم با همبستگی بالاتر از $0/5$ در اراضی کشاورزی، گزارش کردند، ایشان دامنه تأثیر را از 8400 تا 77100 متر و همبستگی مکانی متوسطی برای آرسنیک، کروم، مس و نیکل محاسبه کردند. لینیک و همکاران (۱۶) نیز نسبت همبستگی مکانی را برای عناصر روی، مس، سرب و کادمیوم بین 31 تا 38 درصد گزارش دادند، ایشان جهت پهنه‌بندی عناصر، از کریجینگ معمولی استفاده کردند. با توجه به نتایج حاصله از تغییرنما عناصر سنگین، شاخص همبستگی و خطای محاسبه شده مشخص شد که کریجینگ معمولی دارای عملکرد بهتری برای تخمین عناصر موردنظر هست ($3/3$ ، 16 و 21). لذا نقشه پراکنش مکانی عناصر سنگین با استفاده از مدل کروی و درونیابی معمولی ترسیم شد. این نتایج با نتایج بسیاری از محققان در زمینه بهترین مدل و روش درونیابی مطابقت داشت (10 ، 11 ، 16 ، 30 و 32). نتایج پراکنش مکانی واریانس تخمین در مورد عناصر نشان داد که حاشیه‌های نقشه‌های ایجاد شده، دارای واریانس تخمین بالاتری است و می‌توان نتیجه گرفت که نوع و تعداد نمونه‌برداری در ایجاد نقشه‌های توزیع مکانی نقش مهمی دارند. لذا توصیه می‌گردد

نقشه‌های واریانس تخمین کریجینگ بلوکی متغیرهای مورد بررسی ترسیم شدند و پهنه‌بندی حاصل نشان داد که حاشیه نقشه‌ها دارای واریانس تخمین بیشتری نسبت به سایر نواحی می‌باشد. علت این عدم وجود نمونه در این قسمت‌ها هست. علاوه بر این در حاشیه‌ها تنها نقاط موجود در یک طرف نمونه در تخمین آن به کار می‌روند. لذا تخمین اریب می‌شود و خطای تخمین بالا می‌رود.

بحث و نتیجه‌گیری

نتایج بدست آمده از تقارن تغییرنماهای سطحی متغیرهای روی، کادمیم، مس و سرب در منطقه نشانگر توزیع همسانگرد آنها بوده و بیانگر این واقعیت است که تغییرپذیری این متغیرها در جهات مختلف یکسان است. اما تغییرنما عنصر نیکل دارای توزیع ناهمسانگردی بوده و لذا برای تعیین درجه و جهت ناهمسانگردی در چهار جهت تغییرنما آن ترسیم شد. تغییرنماهای جهتی ترسیم شده برای نیکل در امتدادهای مختلف نشان داد که منطقه مورد مطالعه برای این متغیر دارای ناهمسانگردی هندسی بوده و نسبت ناهمسانگردی برای نیکل کل برابر $1/36$ هست. تقی پور و همکاران (۲۷) در بررسی‌های خود در مورد خاک‌های همدان پی برداشت که توزیع متغیرهای سرب کل و قابل جذب و روی کل در منطقه دارای همسانگردی و توزیع مس کل، نیکل کل و قابل جذب دارای توزیع ناهمسانگردی بوده و نسبت ناهمسانگردی را به ترتیب $4/8$ ، $5/8$ و $5/1$ عنوان کردند. نتایج مطالعه حاضر گویای آن است که داده‌های نیمه‌تغییرنما عناصر نامبرده با مدل کروی برآذش بهتری دارند (10 ، 17 ، 22 ، 24 ، 30 و 32). بیشترین دامنه تأثیر 17200 متر و کمترین آن 2354 متر به ترتیب مربوط به عنصر نیکل و سرب بدست آمد. دامنه تأثیر فاصله‌ای است که در موارای آن نمونه‌ها بر هم تأثیری نداشته و آنها را می‌توان مستقل از یکدیگر محسوب نمود. چنین فاصله‌ای حد همبستگی خصوصیت موردنظر را مشخص ساخته و اطلاعاتی را در رابطه با فاصله مجاز نمونه‌برداری نیز ارائه می‌کند. نسبت اثر قطعه‌ای بدست آمده نشان داد که عناصر مس، کادمیم، روی

گذشته بر روی پراکنش کادمیم در مناطق آلوده شده مشابه این تحقیق بوده است (۲، ۱۰، ۱۲، ۲۳، ۲۴ و ۳۱). مقایسه میانگین غلظت مس در کاربری کشاورزی و مرتع نشان داد که کاربری کشاورزی غلظت مس بیشتری را دارد. میانگین غلظت مس کل در منطقه مطالعاتی $23/11$ میلی گرم بر کیلوگرم بود. فعالیت‌های انسانی به خصوص فعالیت‌های ناشی از عملیات کشاورزی مانند مبارزه با آفات و بیماری‌ها و استفاده از سوموم شیمیایی (منابع طبیعی و آبخیزداری استان مرکزی) باعث افزایش غلظت مس کل در کاربری کشاورزی شده است. علاوه بر این، نقشه پهنه‌بندی فلز مس حاصل از کریجینگ بلوکی، افزایش غلظت این عنصر را در غرب، جنوب غربی و جنوب شرقی منطقه، نشان داد که می‌توان علت آن را وجود مواد مادری شیل با غلظت بالای مس نیز دانست (۶، ۲۰ و ۲۲). از نظر زمین‌شناسی واحد شیل و ماسه‌سنگ ژوراسیک حدود $63/7$ درصد، در منطقه گسترش دارند (اداره کل منابع طبیعی و آبخیزداری استان مرکزی)، که می‌تواند بعنوان یکی از پارامترهای افزایش میزان مس در منطقه باشد (۵، ۲۰ و ۲۷). فاروغ اکبر و همکاران (۹) در بررسی خاک‌های اطراف جاده‌ها در انگلستان، دامنه غلظت مس کل را بین $15/5$ تا 240 میلی گرم بر کیلوگرم با میانگین $87/3$ میلی گرم بر کیلوگرم گزارش کردند. بنابراین محدوده مس کل در بیشتر قسمت‌های منطقه مطالعاتی در دامنه طبیعی قرار دارد، و در مرز هشدار نیست. مقایسه میانگین غلظت نیکل در دو کاربری کشاورزی و مرتع نشان داد که غلظت این عنصر در کاربری کشاورزی بیشتر از مرتع است. می‌کو و همکاران (۱۹) میانگین غلظت نیکل کل را در اسپانیا $20/9$ میلی گرم بر کیلوگرم با حداقل غلظت 32 و حداقل $11/4$ میلی گرم بر کیلوگرم گزارش کردند. بیشترین مقدار نیکل با توجه به نقشه پهنه‌بندی در جنوب شرق و شمال غرب منطقه مشاهده شد. فعالیت‌های انسانی بر غلظت نیکل در منطقه مطالعاتی تأثیر داشته است (۲۴). هرچند عوامل دیگری از جمله سنگ مادر (۱۰، ۲۴ و ۳۱) نیز می‌تواند در این زمینه اثرگذار باشد، اما در مرز هشدار قرار نگرفت. مقایسه میانگین برای غلظت روی در کاربری مرتع و کشاورزی در

در انجام تحقیقات بعدی نمونه‌برداری با تعداد بسیار بالاتر و با پراکنش اصولی بهتری همراه باشد. تقی‌پور و همکاران (۲۷) نقشه‌های واریانس تخمین کریجینگ بلوکی برای متغیرهای سرب، نیکل، مس و روی را انجام دادند و اظهار داشتند که حاشیه نقشه و قسمت‌هایی از منطقه به علت وجود رخمنون سنگی و عدم وجود نمونه‌برداری دارای واریانس تخمین بالای است.

نتایج همبستگی بین ویژگی‌های خاک با عناصر سنگین نشان داد که اسیدیته، آهک و میزان ظرفیت تبادل کاتیونی، با اینکه در برخی موارد همبستگی معنی‌داری نشان ندادند، اما همبستگی منفی و مثبتی دارند که در پراکنش عناصر موثرند. بطوری که با افزایش اسیدیته خاک میزان قابلیت دسترسی عناصر سنگین کاهش (۱۲) و با افزایش ظرفیت تبادل کاتیونی میزان این قابلیت بیشتر خواهد بود. مقایسه میانگین غلظت کادمیم در کاربری کشاورزی و مرتع نشان داد که کاربری کشاورزی غلظت کادمیم بیشتری را داراست. بر اساس حد استاندارد تعیین شده برای عنصر کادمیم توسط مؤسسه تحقیقات ملی و فناوری آمریکا، که $0/38$ میلی گرم بر کیلوگرم هست، آلودگی به عنصر کادمیم در منطقه مطالعاتی بسیار بالاست. براساس نقشه کریجینگ بلوکی بدست آمده در مناطق کشاورزی نیز، می‌توان گفت فعالیت‌های انسانی باعث افزایش غلظت کادمیم در منطقه می‌باشند (۱۰). افزوده شدن کادمیم به خاک در اثر کاربرد کودها (۲۲)، قارچ‌کش‌ها و سایر حاصلخیز کنده‌ها را می‌توان از مهم‌ترین عوامل غلظت بالای آن در مناطق با کاربری کشاورزی به شمار آورد (۲ و ۱۲). کودهای فسفره یکی از مهم‌ترین کودهای شیمیایی هستند که در زمین‌های کشاورزی به میزان قابل توجهی مصرف می‌شوند (اداره کل منابع طبیعی و آبخیزداری استان مرکزی). هو و همکاران (۱۲) در مطالعه خود نشان دادند که بیشترین آلودگی کادمیم و آرسنیک در اراضی کشاورزی تحت تاثیر کودهای شیمیائی مانند فسفاتها می‌باشند. کودهای دامی نیز حاوی مقادیر کمی کادمیم بوده و مصرف بیش از حد آنها منجر به انباست این فلز در خاک می‌شود (۲۳). نتایج سایر تحقیقات در

(نسبت اثر قطعه‌ای کمتر از ۲۵ درصد) قوی بدست آمده برای این عنصر نیز نشان دهنده فاکتور بیرونی (فعالیت صنعتی از جمله مجتمع پتروشیمی شازند و حمل و نقل جاده‌ای) موثر در این همبستگی می‌باشد (۲، ۷، ۱۱، ۲۴ و ۲۸). دنکوب (۷) میانگین غلظت سرب کل در منطقه اصفهان را $139/3$ میلی‌گرم بر کیلوگرم گزارش کرد و بیان نمود که $84/1$ درصد از نمونه‌های مورد مطالعه غلظتی بیشتر از حداثر غلظت قابل قبول سرب، را دارند و عامل اصلی را فعالیت صنعتی برشمردند. سودانگو و همکاران (۲۴) نیز فعالیت‌های شدید انسانی را در مرکز شهر فوجوی چین عامل فلزات سنگین سرب، و روی دانستند.

با توجه به نتایج بیان شده بین دو کاربری کشاورزی و مرتع، می‌توان گفت نوع کاربری در پراکنش عناصر سنگین موثر بوده است. مکان و همکاران (۱۸) نشان دادند که کاربری تأثیر مهمی بر کادمیم کل دارد. به‌گونه‌ای که در کاربری شهری و صنعتی، میانگین این فلز را به‌گونه‌ای چشم‌گیر بیشتر از سایر کاربری‌ها نشان دادند. همچنین امینی و همکاران (۲) در مطالعات خود نشان دادند که غلظت کادمیم کل در کاربری شهری نسبت به مناطق با کاربری کشاورزی و بایر بیشتر است. در مطالعاتی در منطقه فوجوی چین نیز نشان داده شد که 34 درصد از تغییرپذیری کادمیم تحت اثر نوع کاربری و زمین-شناختی منطقه است، به‌گونه‌ای که کاربری کشاورزی، جنگل و سپس کاربری شهر بالاترین میزان کادمیم و بر عکس سرب بیشترین غلظت را در کاربری شهر، جنگل و سپس کشاورزی نشان داد (۲۴). با توجه به تمامی نتایج، می‌توان گفت در کنار نوع کاربری (۲۴ و ۲۷)، زمین‌شناسی و نوع مواد مادری (۱۶ و ۳۱)، فعالیت‌های انسانی شامل فعالیت‌های کشاورزی (۲۴ و ۳۱) و فعالیت‌های صنعتی (۱۶ و ۳۱) نقش مهمی را در پراکنش مکانی فلزات سنگین در منطقه داشته است. با توجه به پنهان‌بندی‌های صورت گرفته و داده‌های آماری بدست آمده می‌توان نتیجه گرفت که، آلودگی عناصر مس، روی و نیکل به طور جدی در منطقه مشاهده نشده است. اما افزایش آلودگی عنصر کادمیم در کاربری کشاورزی با منشاء فعالیت‌های

منطقه نشان داد که اراضی مرتع از غلظت روی بالاتری نسبت به اراضی کشاورزی برخوردار هستند. فعالیت‌های صنعتی، ترافیک و آلودگی ناشی از عبور وسایل نقلیه در جاده‌ها از عوامل افزایش روی در منطقه هستند (۱۰، ۱۴ و ۲۴). طبق تحقیقات، دامنه تغییرات روی کل در خاک 10 تا 300 میلی‌گرم بر کیلوگرم گزارش شده است (۱). بنابراین محدوده روی کل در خاک‌های منطقه مطالعاتی در دامنه طبیعی قرار دارد. اما مقایسه نتایج با برخی تحقیقات داخلی نشان داد که میانگین غلظت روی کل در شازند، نسبت به قم و اصفهان (۲) بیشتر است. مطالعات شیرانی (۲۲) نشان داد که غلظت روی در منطقه مشهد- چناران دارای تفاوت معنی‌داری بین کاربری شهری با کاربری کشاورزی و بایر است، در حالی که تفاوت معنی‌داری بین کاربری کشاورزی و بایر مشاهده نشد. نتایج همبستگی بین عناصر سنگین بیان‌کننده ارتباط مثبت و معنی‌داری بین عنصر نیکل با مس ($0/01 < p$) و روی ($0/01 < p$) است. همچنین مس همبستگی مثبت و معنی‌داری با روی نشان داد (۲ و ۲۶). با توجه به همبستگی بین عناصر سنگین نیکل، مس و روی، می‌توان بیان نمود که منشاء سه عنصر در منطقه مطالعاتی یکسان بوده است (۲ و ۲۶). سان و همکاران (۲۶) در بررسی توزیع مکانی فلزات سنگین در خاک‌های اطراف معادن مس استان ژیجیانگ چین نشان دادند که ارتباط متقابل بسیار قوی بین فلزات روی- مس، مس- نیکل، مس- سرب، روی- نیکل، روی- سرب و نیکل- سرب وجود دارد. آن‌ها فعالیت‌های انسانی معدن‌کاوی واقع در منطقه مورد مطالعه را منع مشترک کنترل‌کننده این عناصر بیان کردند. مقایسه میانگین غلظت سرب کل در کاربری کشاورزی و مرتع نیز نشان داد که کاربری مرتع دارای میزان سرب بالاتری نسبت به کاربری کشاورزی است. بر اساس حد استاندارد تعیین شده برای عنصر سرب توسط مؤسسه تحقیقات ملی و فن‌آوری آمریکا، و حدود استاندارد داخلی (۲ و ۲۲) آلودگی به عنصر سرب در منطقه مطالعاتی وجود دارد. با توجه به نقشه کریجینگ بلوکی حاصله، محدوده‌هایی از شمال، مرکز و غرب منطقه دارای غلظت سرب بیشتری هست. همبستگی مکانی

شیمیائی تا حد امکان با اصول صحیح زیست محیطی استفاده شده یا محدودتر شوند و از اصلاح کننده‌های مانند بیوچار و آهک جهت کاهش قابلیت دسترسی عناصر سنگین استفاده شود. اراضی کشاورزی نزدیک به منطقه صنعتی پتروشیمی شازند بیشترین خطر آلودگی سرب و کادمیم را برای سلامتی به همراه داشته و لذا بایستی راهکارهای مناسب جهت کنترل آلودگی در این مناطق و ممانعت از پیشرفت آن اتخاذ شود.

تقدیر و تشکر

این مقاله حاصل پایان‌نامه‌ی با عنوان مطالعه توزیع برخی عناصر سنگین در اراضی شازند با استفاده از GIS، در مقطع کارشناسی ارشد است و با حمایت مالی دانشگاه ملایر اجرا شده است. که بدین وسیله از آن دانشگاه قدردانی می‌شود.

کشاورزی (۳۱) و مواد مادری (۱۶ و ۳۱) و افزایش آلودگی فلز سرب در کاربری مرتع، تحت تاثیر فعالیت‌های صنعتی و حمل و نقل جاده‌ای (۱۴، ۲۸ و ۳۱) بوده‌اند. بدلیل عدم نمونه- برداری کافی در حاشیه منطقه و صرف هزینه بالا جهت روش زمین‌آمار، می‌توان از روش‌های کریجینگ و سنجش از دور بطور تلفیقی استفاده نمود تا هم هزینه کاهش یابد و هم دقت عمل لازم با داده‌های واقعی منطقه، وجود داشته باشد. با توجه به بالا بودن غلظت کادمیم نسبت به حد استاندارد در برخی نقاط منطقه بخصوص اراضی زراعی نزدیک به منطقه صنعتی شازند، به نظر می‌رسد که منطقه پتانسیل لازم جهت پیشروی به سمت آلودگی بیشتری را دارد، لذا توصیه می‌شود جهت کاهش حد کادمیم در کاربری زراعی که به‌طور غیرمستقیم در سلامت انسان اثرگذار است، اقدامات مدیریتی لازم صورت بگیرد. به‌گونه‌ای که استفاده از قارچ‌کش‌ها، علف‌کش‌ها و کودهای

منابع مورد استفاده

- Agarwal SK. 2009. Heavy Metal Pollution. APH Publishing Corp, New Delhi.
- Amini M, Khademi H, Afyuni M, Abbaspour KC. 2005. Variability of available cadmium in relation to soil properties and landuse in an arid region in central Iran. *Water Air Soil Pollution*, 162: 205- 218. doi:<https://doi.org/10.1007/s11270-005-6273-4>.
- Bagheri R, Erfanifard SY. 2020. Spatial distribution of persian Oak decline using a combination of geostatistical techniques and remote sensing (Case study: Barm plain, Fars province). *Journal of RS and GIS for Natural Resources*, 11(1): 104-120. (In Persian).
- Banaei MH. 1998. Soil moisture and temperature regimes map of Iran. Soil and Water Research institute of Iran. <http://www.swri.ir/en-US/DouranPortal/1/page/Home>.
- Chen TB, Zheng YM, Lei M, Huang ZC, Wu HT. 2005. Assessment of heavy metal pollution in surface soils of urban parks in Beijing, China. *Chemosphere*, 60(4): 542- 551. doi:<https://doi.10.1016/j.chemosphere.2004.12.072>.
- Chen T, Liu X, Zhu M, Zhao K, Wu J, Xu J, Huang P. 2008. Identification of trace element sources and associated risk assessment in vegetable soils of the urban-rural transitional area of Hangzhou, China. *Environment Pollution*, 151: 67-78. doi:<https://doi.10.1016/j.envpol.2007.03.004>.
- Dankoub Z, Ayoubi S, Khademi H, Lu SG. 2012. Spatial distribution of magnetic properties and selected heavy metals in calcareous soils as affected by land use in the Isfahan region, central Iran. *Pedosphere*, 22: 33-47. doi:[https://doi.org/10.1016/S1002-0160\(11\)60189-6](https://doi.org/10.1016/S1002-0160(11)60189-6).
- Diawara M, Litt JS, Unis D, Alfonso N, Martinez L, Crock JG, Smith DB, Carsella J. 2006. Arsenic, Cadmium, lead, and mercury in surface soils, Pueblo, Colorado: implications for population health risk. *Environment Geochemistry Health*, 28: 297-315. doi:<https://doi.10.1007/s10653-005-9000-6>.
- Farooq Akbar K, Hale WHG, Headley AD, Athar M. 2006. Heavy metal contamination of road side soils of northern England. *Soil Water Research*, 1: 158-163. doi:<https://doi.10.17221/6517-SWR>.
- Guo W, Wu T, Jiang G, Pu L, Zhang J, Xu F, Yu H, Xie X. 2021. Spatial distribution, environmental risk and safe utilization zoning of soil heavy metals in farmland, subtropical China. *Land*, 10: 569. doi:<https://doi.org/10.3390/land10060569>.
- Hani A, Sinae N, Gholami A. 2014. Spatial variability of heavy metals in the soil of Ahwaz using geostatistical methods. *Internation Journal of Environment Science and Development*, 5(3):

- 294-298.
doi:<https://doi.org/10.7763/IJESD.2014.V5.495>.
12. Hu Sh, Chen X, Jing F, Liu W, Wen X. 2020. An assessment of spatial distribution and source identification of five toxic heavy metals in Nanjing, China. *Environment Engineering Research*, 26(3): 200135. doi: <https://doi.org/10.4491/eer.2020.135>.
 13. Kabata-Pendias A, Pendias H. 2001. Trace elements in soils and plants. Third Ed. CRC Press, Boca raton: London. 413 Pages. <http://base.dnsgb.com.ua>.
 14. Li F, Fan Z, Xiao P, Oh K, Ma X, Hou W. 2009. Contamination, chemical speciation and vertical distribution of heavy metals in soils of an old and large industrial zone in northeast China. *Environment Geology*, 57:1815-1823. doi:<https://doi.org/10.1007/s00254-008-1469-8>.
 15. Li J, He M, Ha W, Gu Y. 2009. Analysis and assessment on heavy metal sources in the coastal soils developed from alluvial deposits using multivariate statistical methods. *Journal Hazardous Materials*, 164: 976-981. doi: <https://doi.org/10.1016/j.jhazmat.2008.08.112>.
 16. Linnik VG, Bauer TV, Minkina TM, Mandzhieva SS, Mazarji M. 2022. Spatial distribution of heavy metals in soils of the flood plain of the Seversky Donets River (Russia) based on geostatistical methods. *Environmental Geochemistry and Health*, 44: 319-333. doi:<https://doi.org/10.1007/s10653-020-00688-y>.
 17. Mahmoudabadi E, Karimi Karouyeh A. 2015. Mapping of calcium carbonate equivalent and clay content of surface soil using geostatistical methods (Case study: Chitgar park, Tehran). *Journal of RS and GIS for Natural Resources*, 6(3): 73-85. (In Persian).
 18. Matkan AA, Kazemi A, Gilly MR, Ashourloo D. 2009. Using RS and GIS for considering cadmium distribution and polluted vegetation in Esfahan province. *Environmental Sciences*, 6(2): 65-77. https://envs.sbu.ac.ir/article_95511.html. (In Persian).
 19. Mico C, Recatala L, Peri, M, Sanchez J. 2006. Assessing heavy metal sources in agricultural soils of an European Mediterranean area by multivariate analysis. *Chemosphere*, 65: 863-872. doi:<https://doi.org/10.1016/j.chemosphere.2006.03.016>.
 20. Rodriguez Martin JA, Lopez Aria M, Grau Corbi JM. 2006. Heavy metal contents in agricultural topsoils in the Ebro basin (Spain). Application of the multivariate geostatistical methods to study spatial variations. *Environment Pollution*, 144: 1001-1012. doi:<https://doi.org/10.1016/j.envpol.2006.01.045>.
 21. Sharma R, Sood K. 2020. Characterization of spatial variability of soil parameters in Apple orchards of Himalayan region using geostatistical analysis. *Communications in Soil Science and Plant Analysis*, (8):1065-1077. doi: <https://doi.org/10.1080/00103624.2020.1744637>.
 22. Shirani M. 2007. Spatial variability of Pb, Cd, Ni and Zn in some agricultur and urban soils around Mashhad-Chenara high way. MSc thesis of Soil Science, Ferdosi Uneversity,Mashhad, Iran. (In Persian).
 23. Singh BR, Steinnes E. 1994. Soil and water contamination by heavy metals. p. 233-271. In Lai R, Stewart BA (Eds), *Soil Processes and Water Quality*. Lewis Pub: London.
 24. Sodango TH, Li X, Sh J, Shang J, Bao Z. 2021. Sources, spatial distribution and extent of heavy metals in relation to land use, lithology and landform in Fuzhou city, China. *Minerals*, 11: 1325. doi:<https://doi.org/10.3390/min11121325>.
 25. Sposito G, Lund LJ, Chang AC. 1982. Trace metal chemistry in arid zone field soils amended with sewage sludge: I. Fractionation of Ni, Cu, Zn, Cd and Pb in solid phases. *Soil Science Society American Journal*, 46: 260-264. doi:<https://doi.org/10.2136/sssaj1982.03615995004600020009x>.
 26. Sun H, Li J, Mao X. 2012. Heavy metals spatial distribution characteristics in a copper mining area of Zhejiang Province. *Journal Geogr Inf System*, 4: 46-54. doi:<https://doi.org/10.4236/jgis.2012.41007>.
 27. Taghipour M, Ayoubi Sh, Khademi H. 2011. Contribution of lithologic and anthropogenic factors to surface soils heavy metals in western Iran using multivariate geostatistical analysis. *Soil and Sediment Contamination*, 20: 921-937. doi:<https://doi.org/10.1080/15320383.2011.620045>.
 28. Viard B, Pihan F, Protneyrat S, Pihan JC. 2004. Integrated assessment of heavy metal (Pb, Zn, Cd) highway pollution: bioaccumulation in soil, Graminacea and lands nails. *Chemosphere*, 55: 1349-1359. doi:<https://doi.org/10.1016/j.chemosphere.2004.01.003>.
 29. Wang J, Re H, Zhang X. 2006. Distribution patterns of lead in urban soil and dust in Shenyang city, northeast China. *Environmental Geochemistry and health*, 28: 53-59. doi:<https://doi.org/10.1007/s10653-005-9011-3>.
 30. Yang P, Mao R, Sha H, Gao Y. 2009. An investigation on the distribution of eight hazardous heavy metals in the suburban farmland of China. *Journal of Hazardous Materials*, 15(67): 1246-1251. doi:<https://doi.org/10.1016/j.jhazmat.2009.01.127>.

31. Yang Z, Jing F, Chen X, Liu W, Liu B, Lin G, Huang R, Liu W. 2018. Spatial distribution and sources of seven available heavy metals in the paddy soil of red region in Hunan Province of China. *Environmental Monitoring and Assessment*, 190: 611. doi: <https://doi.org/10.1007/s10661-018-6995-6>.
32. Zhao K, Fu W, Ye Z, Zhang C. 2015. Contamination and spatial variation of heavy metals in the soil-rice system in Nanxun County, Southeastern China. *International Journal of Environmental Research and Public Health*, 12: 1577-1594. doi:<https://doi.org/10.3390/ijerph120201577>.



Original paper

Spatial distribution of some heavy metals in two agriculture and rangeland uses (A case study: Shahzand industrial city, Arak)

Leila Zarei¹, Soheila sadat Hashemi^{*2}, Mahdi Najafi Ghiri³

Received: 2021-12-13 / Accepted: 2022-03-06 / Published: 2023-03-21

Abstract

Soil serves as a fundamental environment for plant growth, and due to its critical importance, the examination of heavy metal distribution is essential for monitoring soil contamination and maintaining environmental quality. This study aimed to investigate the spatial variability of specific heavy metals in surface soils of Shazand City. A total of 76 surface soil samples were randomly collected from a depth of 0-30 cm within the study area. Following sample preparation, various physicochemical characteristics, as well as the total concentrations of lead (Pb), cadmium (Cd), nickel (Ni), zinc (Zn), and copper (Cu), were measured. The mean concentrations of Pb, Cd, Ni, Zn, and Cu were found to be 31.20, 54.12, 23.11, 2.05, and 59.36 mg kg⁻¹, respectively. Significant correlations were identified between Ni and Cu ($r = 0.41$, $p < 0.01$) and between Ni and Zn ($r = 0.50$, $p < 0.01$).

Leila Zarei¹, Soheila sadat Hashemi²(✉), Mahdi Najafi Ghiri³

1. MSc. of Soil Science, Faculty of Agriculture, Malayer University, Malayer, Iran

2. Assistant Professor, Department of Soil Science, Faculty of Agriculture, Malayer University, Malayer, Iran

3. Soil Science Department, College of Agriculture and Natural Resources of Darab, Shiraz University, Iran

DOI: 10.30495/girs.2023.689614

e-mail: hashemy558@yahoo.com

Additionally, a significant correlation was observed between Cu and Zn ($r = 0.40$, $p < 0.01$). The spatial variability of these variables was assessed using variogram models and ordinary kriging. The results of the geostatistical analysis indicated that the spherical model was the most suitable for describing the spatial variability of all studied elements. A strong spatial dependence (with a nugget-to-sill ratio of less than 0.25) was observed for lead. According to established standards, Pb and Cd exhibited the highest levels of pollution in rangeland and agricultural land use, respectively, within the study area. It is recommended to enhance soil quality and mitigate degradation from pollutants through the implementation of appropriate environmental practices.

Statement of the Problem: Soil serves as a fundamental environment for plant growth, and its significance necessitates the investigation of heavy metal distribution for the purposes of monitoring soil contamination and maintaining environmental quality. Given the widespread nature of polluted areas and the associated challenges in soil sample collection, the application of geostatistical methods proves to be highly beneficial. Among these methods, Kriging stands out as a geostatistical technique with considerable potential for assessing the spatial distribution of heavy metals in soil. The spatial distribution of heavy metal pollution can be analyzed using Geographic Information System (GIS) technology in conjunction with geostatistical methods. Given the rise in pollutant levels surrounding industrial

centers and their subsequent dispersion into agricultural lands and pastures, an effort was made to identify an industrial region that significantly impacts both animal and human populations.

Purpose: This investigation was conducted to examine the spatial variability of certain heavy metals in surface soils of Shazand City, with the aim of improving the prediction of sources of soil contamination.

Methodology: The primary land uses in the Shazand region include agricultural (both irrigated and rainfed), rangeland, industrial, and urban areas. A total of 76 surface soil samples were randomly collected from a depth of 0-30 cm within the study area. Following the preparation of these samples, various physicochemical characteristics were assessed, along with the total concentrations of lead (Pb), cadmium (Cd), nickel (Ni), zinc (Zn), and copper (Cu). Data analysis and mean comparisons were conducted using SPSS version 19. The anisotropy of the data was examined through a surface variable; subsequently, the degree of anisotropy was determined, and a directional variance was plotted for the elements under investigation. Upon identifying the most suitable model, kriging interpolation maps and estimation variance maps were generated for each element using ArcGIS software.

Results and discussion: The mean concentrations of Pb, Cd, Ni, Zn and Cu were measured at 31.20, 54.12, 23.11, 2.05, and 59.36 mg kg⁻¹, respectively. Nickel exhibited a significant correlation with pH, cation exchange capacity (CEC), as well as silt and sand content ($p < 0.05$). Cu content demonstrated a significant correlation with lime content, while Zn content showed significant correlations with CEC, organic carbon, lime, silt, and sand content. Additionally, lead displayed a significant negative correlation with pH ($p < 0.01$). Significant correlations were identified between Ni and Cu with a correlation coefficient of $r = 0.41$ ($p < 0.01$), as well as between Ni and Zn with a correlation coefficient of $r = 0.50$ ($p < 0.01$). Additionally, a significant correlation was observed between Cu and Zn, with a correlation coefficient of $r = 0.40$ ($p < 0.01$). The spatial variability of the heavy metals under investigation was analyzed. The symmetry of the spatial variables indicated that the distribution of Zn, Pb, Cd and Cu in the region was isotropic, suggesting that the variability of these elements is consistent across different geographical directions. In contrast, Ni exhibited an anisotropic distribution within the region. To assess the direction and degree of anisotropy, a directional variance analysis was conducted at four angles: 0, 45, 90, and 135 degrees. The analysis of directional variables for Ni across various lengths indicated the presence of geometric anisotropy within the study area, with an anisotropy ratio of 1.36 for total Ni. Furthermore, the comparison of heavy metal variations revealed that the conventional kriging method outperformed both

ordinary and simple kriging techniques, as evidenced by superior error evaluation indices and a higher coefficient of correlation (r^2) between the measured and estimated variables. The findings from the statistical analysis indicate that the spherical model provides the best fit for the concentration of the elements under investigation. The maximum and minimum impact ranges were observed to be 17,200 meters and 2,354 meters, corresponding to Ni and Pb, respectively. A strong spatial dependence was identified for Pb, as evidenced by a nugget-to-sill ratio of less than 0.25. The comparison of total Cd concentrations in agricultural and rangeland indicates that agricultural lands exhibit a higher concentration of Cd. The level of Cd contamination in the study area is notably elevated, measuring 0.38 mg kg⁻¹, which exceeds the standard range for Cd established by the National Institute of Research and Technology. The spatial distribution map of Cd generated through blocky kriging indicated that the highest concentrations of Cd were located in the southern part of the region, particularly in the vicinity of the Shazand Petrochemical area and extending towards Shazand city, which poses a significant risk. Furthermore, a comparative analysis of Cu concentrations revealed that agricultural land exhibited higher levels of Cu compared to rangeland. The findings revealed an elevation in the Cu concentration in the western, southwestern, and southeastern areas of the region, which can be ascribed to the presence of shale parent materials characterized by elevated Cu content. A comparative analysis of Ni concentration between agricultural lands and rangelands demonstrated that the Ni concentration in agricultural lands was significantly higher than that in rangelands. Furthermore, the findings revealed an elevation in the concentration of this element in the northwestern and southeastern regions, which may be ascribed to the presence of shale parent materials characterized by elevated Ni content. A comparative analysis of Zn concentrations in rangeland versus agricultural lands within the study area demonstrated that rangelands exhibited higher Zn concentrations than their agricultural counterparts. The results indicated that the regions adjacent to the Shazand Petrochemical Power facility and its periphery exhibited the highest concentrations of Zn. The blocky kriging map revealed that the northern, southern, and western areas of the region recorded the highest Pb concentrations, which can be attributed to industrial activities, vehicular traffic, and other anthropogenic influences. Furthermore, the blocky kriging estimation variance maps for the variables under investigation demonstrated that the margins of the region exhibited a higher estimation variance compared to other areas, likely due to a scarcity of sampling in these locations.

Conclusions: The findings indicate that agricultural practices characterized by elevated concentrations of Cu, Cd, and Ni, as well as rangeland utilization, exhibited the highest levels of Zn and Pb. According to the American National Institutes of Standards and

Technology (NIST), Pb and Cd present the greatest pollution risk within the study area. According to the zoning results, the primary source of Cd contamination in the region is attributed to agricultural activities, whereas the predominant source of Pb due to its significant spatial dependence, can be linked to industrial activities, specifically the Shazand Petrochemical facility, as well as road transport. The elevated concentrations of Cd in certain areas of the region, which exceed established standards, suggest that the study area is at risk of being classified as polluted and may

exhibit symptoms of environmental degradation. Consequently, it is imperative to manage the sources of pollution effectively to avert the emergence of severe environmental hazards. It is recommended that adequate protective measures be implemented to enhance soil quality and mitigate soil degradation.

Keywords: Pollutant, Geostatistics, Lead, Cadmium, Kriging

Please cite this article as: Zarei L, Hashemi S, S, Najafi Ghiri M. Spatial distribution of some heavy metals in two agriculture and rangeland uses (A case study: Shahzand industrial city, Arak). *Journal of RS and GIS for Natural Resources*, 14(2): 16-37